

## Werk

**Titel:** Physica

**Jahr:** 1964

**PURL:** [https://resolver.sub.uni-goettingen.de/purl?312899653\\_0009|log2](https://resolver.sub.uni-goettingen.de/purl?312899653_0009|log2)

## Kontakt/Contact

Digizeitschriften e.V.  
SUB Göttingen  
Platz der Göttinger Sieben 1  
37073 Göttingen

✉ [info@digizeitschriften.de](mailto:info@digizeitschriften.de)

G. 1964/66

(ACTA F. R. N. UNIV. COMEN. IX., 1, **Physica** 1964)

ACTA  
FACULTATIS RERUM NATURALIUM  
UNIVERSITATIS COMENIANAE

TOM. IX.

FASC. I.

Bl.  
3

PHYSICA

PUBL. VI.

Z A 2083c

1-12 ohne T.J. [abgeschlossen] gr.  
1964

SLOVENSKÉ PEDAGOGICKÉ NAKLADATEĽSTVO BRATISLAVA

## REDAKČNÝ KRUH :

Prof. Dr. O. FERIANG  
Doc. Dr. J. FISCHER

Prof. Ing. M. FURDIK  
Doc. Dr. M. GREGUŠ, C. Sc.  
Prof. Dr. J. A. VALŠÍK

## REDAKČNÁ RADA

Prof. Dr. M. Dillinger  
Doc. Dr. R. Herich  
Doc. Dr. J. Hladík  
Doc. Dr. A. Huťa, C. Sc.  
Doc. Dr. M. Kolibiar  
Člen korešp. SAV prof. Dr. M. Konček  
Doc. Dr. L. Korbel

Doc. M. Mrčiak  
Doc. Dr. J. Májovský  
Člen korešp. SAV prof. Dr. Ľ. Pastýrik  
† Prof. Dr. J. Srb  
Prof. Ing. S. Stankoviansky  
Doc. Dr. M. Sypták  
Doc. Dr. Št. Veis, C. Sc.

Просим обмена публикаций

Austausch von Publikationen erbeten

Frière d'échanger des publications

We respectfully solicit the exchange of publications

Se suplica el canje de publicaciones



---

Sborník Acta facultatis rerum naturalium universitatis Comenianae. Vydává Slovenské pedagogické nakladatelstvo v Bratislave, Sasinkova 5, čís. tel. 645-51. Povolilo Povereníctvo kultúry číslom 2265/56-1V/1. Tlač: Tisk, knižná výroba, n. p., Brno, provoz 1

## Iskrové počítače a iskrové komory s rovinnými elektródami

Š. ŠÁRÓ

V článku je uvedený princíp práce iskrových počítačov a iskrových komôr s rovinnými elektródami. Podrobne sa uvádzajú ich vlastnosti a možnosti použitia. Pre úplnosť je stručne naznačená aj teória iskrového výboja.

### I. Úvod

Na detekciu ionizujúcich častic možno použiť lubovoľnú dvojicu elektród v plynom prostredí a to viacerými spôsobmi, podľa zvoleného pracovného napäťa:

1. V oblasti ionizačnej komory, kde intenzita elektrostatického poľa je dostačujúca iba na zbieranie iónov, vytvorených primárnu ionizujúcou časticou.
2. V oblasti proporcionality, kde už dochádza k plynovému zosilneniu primárnej ionizácie.
3. V oblasti Geiger – Müllerových počítačov, kde ionizácia už nezávisí od náboja a energie ionizujúcej častice.

Uvedené oblasti ležia v pásmi nesamostatného výboja v plynach.

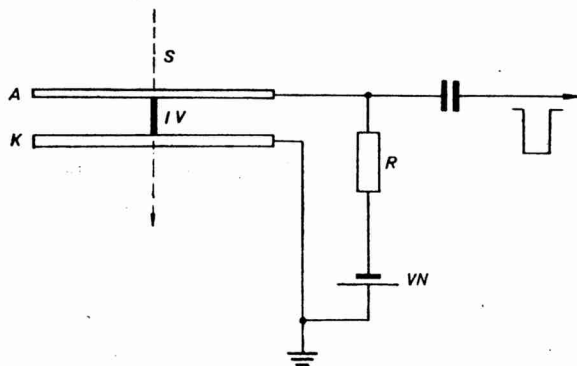
4. V oblasti koronového výboja, kde amplitúda impulzov je závislá od primárnej ionizácie. Táto oblasť je pomerne úzka a leží tesne pod oblasťou iskrového výboja.

5. V oblasti iskrového výboja, ktorá sa začala využívať na detekciu častic najneskoršie. Leží v pásmi samostatného výboja v plynach. V tejto poslednej oblasti pracujú iskrové počítače a iskrové komory.

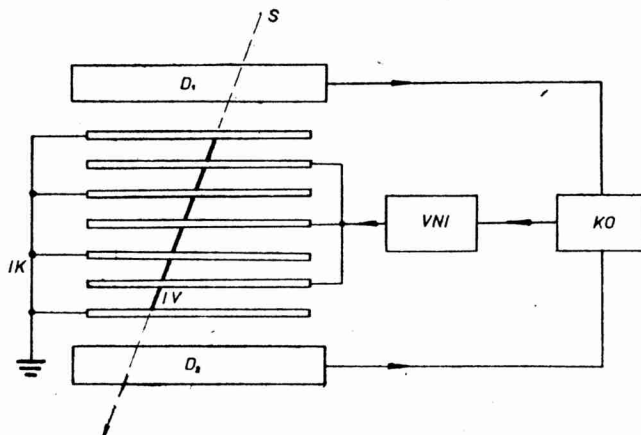
Iskrový počítač je teda zariadenie na detekciu častic, schopných ionizovať prostredie, cez ktoré prechádzajú. Pre zhášanie výboja je nutné používať vonkajší zhášací obvod. Počítač v podstate pozostáva z dvoch elektród určitého usporiadania, medzi ktorými je taký potenciálny rozdiel, že v prípade prechodu ionizujúcej častice preskočí iskra medzi elektródami (obr. 1). Tým, že pracuje v oblasti iskrového výboja, vykazuje určité špecifické vlastnosti – okrem iného aj možnosť vizuálneho pozorovania stopy častice – ktoré ho odlišujú od predošlých typov plynových počítačov.

Iskrové komory využívajú práve možnosť vizuálneho pozorovania stopy častice. Elektrody iskrovej komory sú obvykle rovinaté, na ktoré sa po prechode ionizujúcej častice priviedie vysokonapäťový impulz, ktorý vytvorí iskrový výboj. Výboj je lokalizovaný na miesto, kde došlo k ionizácii časticou, prešiel medzi elektródami (obr. 2).

V poslednom období sa štúdium vlastností iskrových počítačov, ale najmä iskrových komôr rozrástlo do značných rozmerov. Iskrové komory sa používajú skoro výlučne vo fyzike vysokých energií. Ukazuje sa, že štúdium veľmi vzácnych rozpadov je najvhodnejšie robiť pomocou iskrových komôr, alebo kombináciou iskrových komôr s bublinovými komorami.



Obr. 1. Základná schéma iskrového počítača. A – anóda, K – katóda, R – zhášaci odpor, VN – vysoké napätie, S – stopa ionizujúcej častice, IV – iskrový výboj, vytvorený po stope častice.



Obr. 2. Základná schéma iskrovej komory.  $D_1$  a  $D_2$  sú detektory častíc, KO – koincidenčný obvod, VNI – generátor vysokonapäťových impulzov, IK – iskrová komora, S – stopa častice, IV – iskrový výboj, vytvorený po stope častice.

## II. Teória iskrového výboja [1, 2, 3]

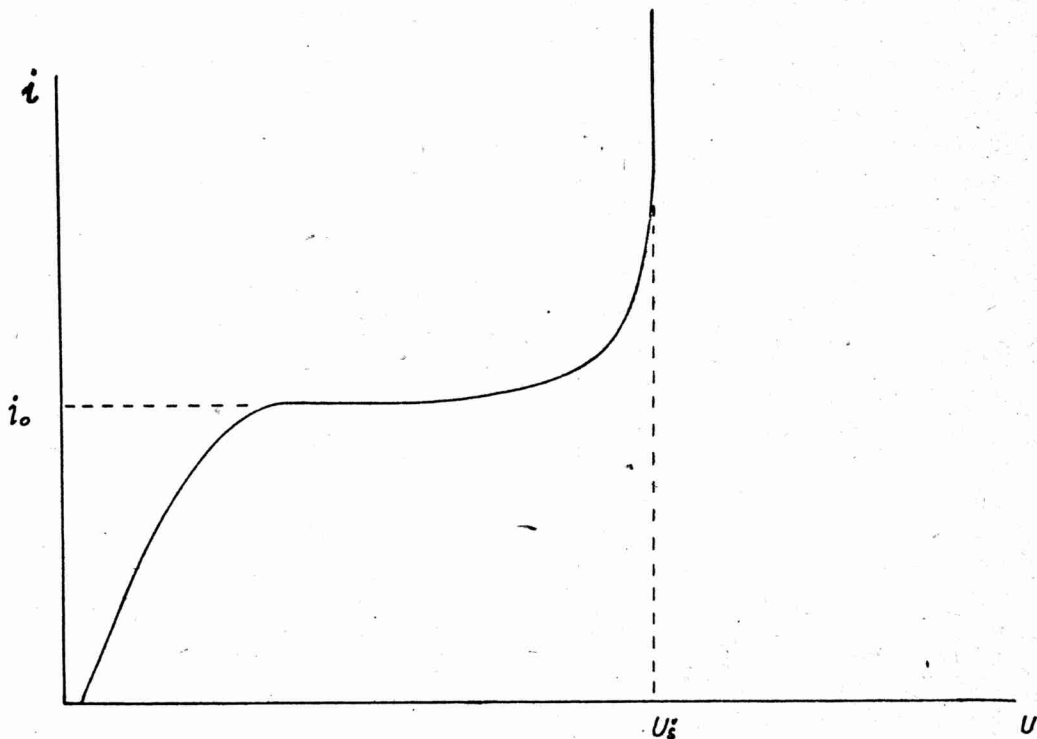
*Townsendova teória iskrového výboja.* V prípade plošných rovnobežných elektród je výbojový prúd i určený výrazom

$$i = i_0 e^{\alpha d} \quad (1)$$

kde  $i_0$  je fotoionizačný prúd katódy,  $d$  je vzdialenosť elektród v cm a  $\alpha$  je Townsendov prvý koeficient ionizácie, udávajúci počet sekundárnych elektrónov, ktoré vznikli

pri prechode primárneho elektrónu vzdialenosťou 1 cm vo smere poľa. Závislosť výbojového prúdu  $i$  od potenciálneho rozdielu na elektródach znázorňuje obr. 3.

Popri ionizácii plynu procesom, opisovaným Townsendovým prvým koeficientom ionizácie  $\alpha$ , sú aj ďalšie spôsoby ionizácie. Pri dostatočnej energii kladný ión na svojej ceste medzi elektródami môže zapríčiniť tiež ionizáciu. Táto ionizácia je



Obr. 3. Závislosť výbojového prúdu  $i$  od potenciálneho rozdielu na rovinných rovnobežných elektródach.  $U_s$  je štatistické prierazné napätie,  $i_0$  je fotoionizačný prúd katódy.

charakterizovaná Townsendovým druhým koeficientom ionizácie  $\beta$ , ktorý udáva počet iónových párov, vytvorených kladným iónom, pri prejdení vzdialenosťi 1 cm vo smere poľa. V tomto prípade rovnica (1) prejde do tvaru

$$i = i_0 \frac{(\alpha - \beta) e^{(\alpha - \beta)d}}{\alpha - \beta e^{(\alpha - \beta)d}}. \quad (2)$$

V prípade, že pôsobením fotónov je zapríčinená sekundárna emisia z katódy, ionizačný prúd je rovný

$$i = i_0 \frac{\alpha e^{\alpha d}}{\alpha - \Theta \eta g e^{(\alpha - \mu)d}}. \quad (3)$$

kde  $\Theta$  je počet fotónov, vytvorených elektrónom po prejdení vzdialenosťi 1 cm vo smere poľa,  $\eta$  je množstvo fotónov, potrebných na uvoľnenie jedného fotoelektrónu

z katódy,  $g$  je geometrický faktor, charakterizujúci relatívny počet fotónov dopadajúcich na katódu a  $\mu$  je koeficient absorpcie fotónov v plyne.

Ako vidíme, pri emisii elektrónov z katódy nedochádza len k ionizácii plynu, charakterizovanej koeficientom  $\alpha$ , ale aj k iným typom nepružných zrážok, v dôsledku ktorých molekuly a atómy plynu môžu prejsť do vzbudeneho alebo metastabilného stavu. Vzbudené a metastabilné molekuly a atómy pri prechode do pôvodného stavu, ako aj kladné ióny môžu zapríčiniť ďalšiu ionizáciu.

Ak budeme uvažovať prípad nesamostatného výboja, podstatná časť sekundárnych elektrónov vyletujúcich z katódy bude vytvárať kladné ióny, bombardujúce katódu.

Nech  $n$  je počet elektrónov prichádzajúcich na anódu za 1 sec.,  $n_0$  počet elektrónov vyletujúcich z katódy pod vplyvom libovoľného vonkajšieho činiteľa,  $n_+$  celkový počet elektrónov vyletujúcich z katódy pod vplyvom bombardovania kladnými iónmi a  $\gamma$  počet elektrónov vyletujúcich z katódy pod účinkom jedného dopadajúceho kladného iónu.

Potom

$$n = (n_0 + n_+) e^{\alpha d} \quad (4)$$

$$n_+ = \gamma [n - (n_0 + n_+)]. \quad (5)$$

Ak z rovníc (4) a (5) vylúčime  $n_+$  dostaneme

$$n = n_0 \frac{e^{\alpha d}}{1 - \gamma (e^{\alpha d} - 1)}, \quad (6)$$

alebo

$$i = i_0 \frac{e^{\alpha d}}{1 - \gamma (e^{\alpha d} - 1)}. \quad (7)$$

Koeficient  $\gamma$  sa nazýva Townsendovým tretím koeficientom ionizácie a udáva ako už bolo uvedené, počet elektrónov vyletujúcich z katódy, pod účinkom jedného kladného iónu, dopadajúceho na katódu. Ak sa vezmú do úvahy procesy na katóde, ako i procesy ionizácie plynu kladnými iónmi, platí všeobecnejší vzťah

$$i = i_0 \frac{(\alpha - \beta) e^{(\alpha - \beta)d}}{(1 + \gamma) d - (\alpha\gamma + \beta) e^{(\alpha - \beta)d}}. \quad (8)$$

Ak v tejto rovnici položíme  $\beta$  rovné 0, dostaneme rovnici (7), ak  $\gamma$  je rovné 0, dostaneme rovnici (2), ak  $\beta = \gamma = 0$ , dospejeme k rovnici (1), pri ktorej neberieme do úvahy sekundárne procesy na katóde, ani priestorovú ionizáciu kladnými iónmi. V súčasnosti sa všetky formy sekundárnej ionizácie charakterizujú jediným koeficientom ionizácie, udávajúcim počet sekundárnych elektrónov, pripadajúcich na jeden kladný ión.

Pri stacionárnom, samostatnom výboji nepotrebuje pôsobenie vonkajšieho ionizátora pre prvotnú emisiu elektrónov z katódy, preto hodnota výrazu  $\gamma(e^{\alpha d} - 1)$ , ktorá pri nízkych gradientoch potenciálu je rovná nule, musí pri vysokých hodnotách gradientu, ktoré sú na to potrebné, narásť až k hodnote jedna.

$$\gamma(e^{\alpha d} - 1) = 1. \quad (9)$$

Pri tejto hodnote menovateľ v rovnici (7) sa stane nulou a hodnota ionizačného prúdu sa stane neurčitou. Podľa Townsendovej teórie podmienka (9) udáva teda začiatok

vzniku iskrového prierazu. Pri prieraze koeficient  $\alpha$  sa stáva obyčajne takým veľkým, že  $e^{\alpha d} \gg 1$ , a preto podmienku (9) môžeme prepísať takto

$$\gamma e^{\alpha d} = 1. \quad (10)$$

Pre  $\gamma e^{\alpha d} < 1$  sa výboj nemôže stať samostatným. Prúd  $i$ , určený rovnicou (7), bude smerovať k nule, ak po oddialení vonkajšieho zdroja žiarenia  $i_0$  bude klesať k nule.

Pri  $\gamma e^{\alpha d} = 1$  počet iónových párov  $e^{\alpha d}$ , vytvorených jednou elektrónovou lavinou vo výbojovom priestore, je dostatočne veľký, aby kladné ióny, bombardujúce katódu, mohli uvoľniť aspoň jeden sekundárny elektrón a takto vyvoláť opakovanie procesu. V tomto prípade sa výboj stane samostatným a môže sa udržať i za nepritomnosti vonkajšieho zdroja žiarenia, vytvárajúceho počiatočný prúd  $i_0$ . Podmienka (10) udáva preto prah objavenia sa iskry.

Pri  $\gamma e^{\alpha d} > 1$  sa iskrový výboj rozvíja tým rýchlejšie, čím väčšia je hodnota  $\gamma e^{\alpha d}$ , čím viac prevyšuje hodnotu 1.

Hodnoty  $\gamma$  a  $e^{\alpha d}$  nie sú konštantné, ale kolísu okolo svojich stredných hodnôt, preto súčin  $\gamma e^{\alpha d}$  sa bude meniť od laviny k lavíne. Následkom toho bude existovať určitá pravdepodobnosť, že iskrový výboj nastane i pri napäti  $U$  o niečo menšom, než je  $U_s$ , ktoré prislúcha strednej hodnote  $\gamma e^{\alpha d} = 1$ . Rozptyl prahu objavenia sa iskry je pritom pomerne malý, v dôsledku silnej závislosti súčinu  $\gamma e^{\alpha d}$  od gradientu potenciálu.

Townsendova podmienka (10) nám dáva možnosť určiť štatistické prierazné napätie  $U_s$  pomocou závislostí

$$\frac{\alpha}{p} = f_1\left(\frac{E}{p}\right), \quad \gamma = f_2\left(\frac{E}{p}\right) \quad (11)$$

kde  $p$  je tlak plynu v mm Hg,  $E$  intenzita pola vo V/cm. Zhoda s experimentom je pomerne dobrá pri znižených tlakoch v plyne, za predpokladu, že výboj nastáva pri napäti menšom než 10 kV.

Pri určovaní štatistického prierazného napäcia  $U_s$  sa dobre osvedčila experimentálne zistená Paschenova závislosť. Podľa tejto závislosti pri zmene vzdialenosťi elektród  $d$  [cm] a tlaku plynu  $p$  [mm Hg], pri ktorej ich súčin  $p \cdot d$  ostáva konštantný  $U_s$  ostáva tiež konštantná. Teda každému súčinu  $p \cdot d$  odpovedá presne určené štatistické prierazné napätie  $U_s$  (pri konštantnej teplote).

V prípade väčších vzdialenosťí  $d$  dochádza však k odklonu od Paschenovho zákona.

Townsendova podmienka vzniku iskrového výboja

$$\gamma e^{\alpha d} = 1$$

pomerne dobre súhlasí s experimentálnymi hodnotami pri zniženom tlaku. Ak zoberieme do úvahy sekundárne procesy, spojené s bombardovaním katódy kladnými iónmi môžeme očakávať, že doba vytvárania iskry bude totožná s dohou, potrebnou pre prechod kladných iónov cez výbojový priestor. Pri atmosferickom tlaku a pri väčších vzdialosťach elektród je však rýchlosť rozvitia výboja väčšia a blíži sa k rýchlosťi pohybu elektrónov cez výbojový priestor. Bolí zistené aj kratšie doby rozvitia výboja, keď k výbojovému priestoru sa privádzalo impulzné napätie, vyššie než je štatistické prierazné napätie  $U_s$ .

Pomocou Townsendovej teórie je ľahké vysvetliť dobu rozvitia výboja pri vyšších tlakoch a väčších vzdialosťach elektród. V tejto oblasti je vhodnejšie použiť streamrovú teóriu iskrového výboja.

## Streamerová teória iskrového výboja

Streamerová teória iskrového výboja berie do úvahy menšie množstvo parametrov než Townsendova teória. Mechanizmus výboja sa vysvetluje pomocou ionizačných procesov, závisiacich len od plynu, ionizácie elektrónmi (charakterizovanou len koeficientom fotoionizácie) a pôsobenia priestorového náboja, vytvoreného lavínami a streamermi. Približný výpočet poľa priestorového náboja, vytvoreného lavinou, sa robí nasledovne [1].

Uvažujme dvojicu rovinných rovnobežných elektród, vzdialených od seba na  $d$  cm, medzi ktorými je intenzita elektrického poľa  $E$  V/cm, a tlak plynu  $p$  mm Hg. Ak pomer  $E/p$  bude dostatočne veľký, elektróny vyletujúce z katódy budú ionizovať molekuly plynu. Sekundárne elektróny budú tiež urýchlované a vytvoria sekundárnu ionizáciu. Ak primárny elektrón prejde dráhu  $x$  vo smere poľa, vytvorí na svojej ceste  $e^{\alpha x}$  sekundárnych elektrónov. Tento proces veľmi rýchle narastá (obr. 4) a nazýva sa elektrónovou lavinou.

V poli, nevyhnutnom pre vznik prierazu, sa elektróny pohybujú rýchlosťou  $\sim 2 \cdot 10^7$  cm/sec a vzniknuté kladné ióny  $\sim 2 \cdot 10^5$  cm/sec. Teda kladné ióny, ktorých počet je tiež  $e^{\alpha x}$ , v porovnaní s elektrónmi môžeme považovať za nepohyblivé. Z tohto dôvodu lavina sa bude šíriť vo forme záporného elektrónového mraku, ktorý zanecháva za sebou kladný priestorový náboj, vytvorený kladnými iónmi.

K najväčšiemu narušeniu homogenity poľa dochádza tam, kde sa práve nachádza čelo laviny, lebo tam je hustota iónov maximálna. Pole priestorového náboja  $E_n$  zvyšuje intenzitu vonkajšieho poľa  $E$  a navyše vytvára radiálne pole, vzhladom na os laviny. Ak predpokladáme, že

$$E_n = KE, \quad (12)$$

potom pole priestorového náboja zväčšuje intenzitu poľa vo smere osi laviny do maximálnej hodnoty

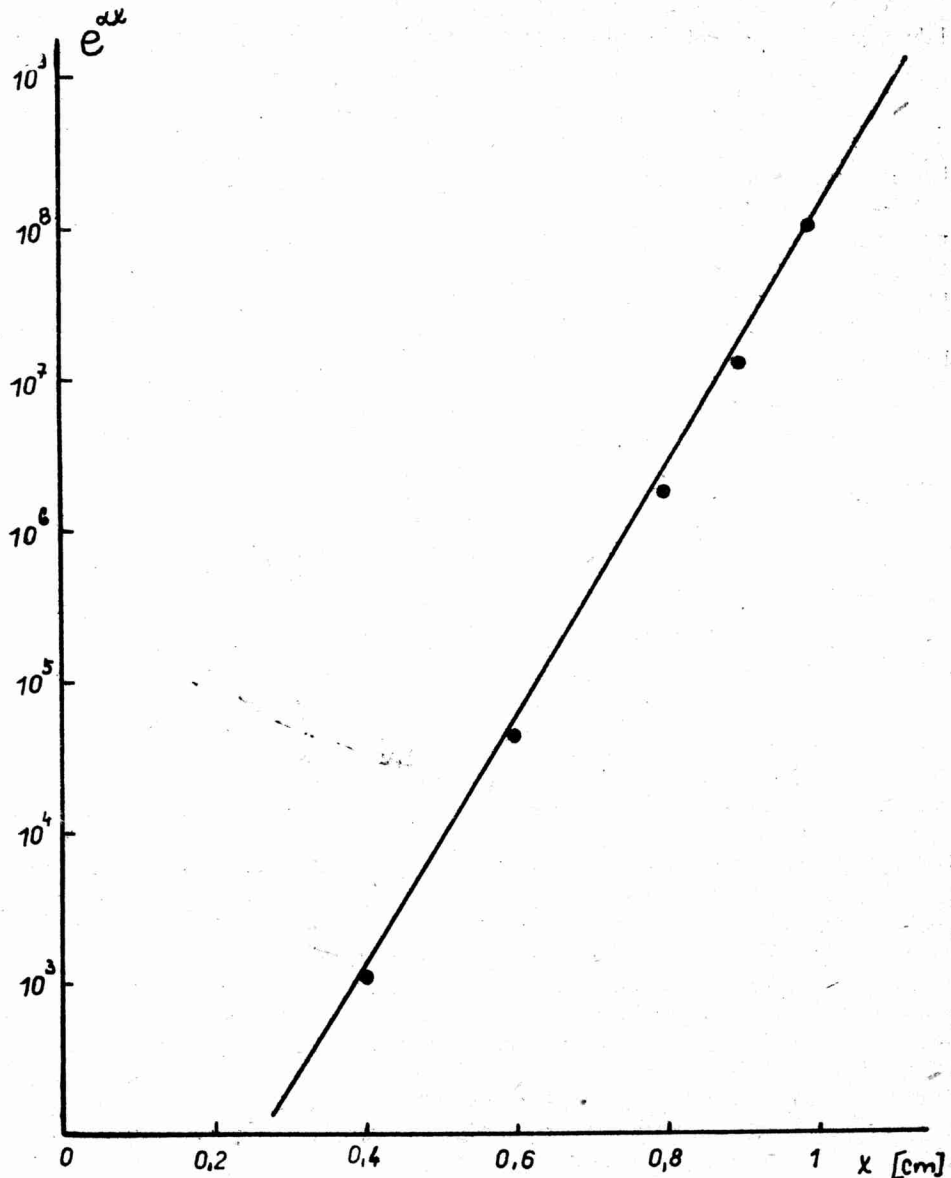
$$E_{\max} = (1 + K) E. \quad (13)$$

Ked' lavina prejde celú vzdialenosť medzi elektródami, elektróny dopadnú na anódu, kladné ióny, ktoré ostali v kužeľovitom objeme, začnú sa šíriť vo výbojovom priestore. Hustota iónov okrem oblasti blízkej k anóde je pomerne nízka; preto prítomnosť kladných iónov ešte nestačí na prieraz. Avšak pod účinkom fotónov, vyletujúcich zo silne ionizovaného stĺpca laviny, vznikajú v okolitej plyne fotoelektróny, ktoré podmienňujú vznik dodatočných lavín. Ak intenzita poľa priestorového náboja, vytvoreného základnou lavinou, je rádovo rovná intenzite vonkajšieho poľa, potom nové laviny sa budú pohybovať k stope hlavnej laviny. Najväčšie zväčšenie počtu elektrónov v týchto dodatočných lavinach nastane pozdĺž osi základnej laviny, kde sa intenzita poľa priestorového náboja približuje k intenzite vonkajšieho poľa. Kladné ióny, ostávajúce pozadu za týmito lavinami, podstatne predlžujú a zväčšujú priestorový náboj základnej laviny smerom ku katóde; proces sa rozvíja ako samostatne sa šíriaci streamer. Streamer prejde celým výbojovým priestorom a vytvorí medzi elektródami silne vodivú niť vysokoionizovaného plynu. Vytvorenie tejto vodivej niti je prvou fázou rozvoja iskrového kanálu, cez ktorý prejde výboj.

Ked' napätie na elektródach prevyšuje minimálne prierazné napätie, pole priestorového náboja, vytvoreného lavinou, nadobudne intenzitu, blízku intenzite vonkajšieho poľa ešte predtým, než lavina dosiahne anódu. V tomto prípade streamer

musia vznikať v strede výbojového priestoru, čo v skutočnosti aj bolo pozorované.

Elektrónová lavína prejde v streamer, ak radiálne pole  $E_r$ , vytvorené kladnými iónmi, v hlave lavíny dosahuje intenzitu vonkajšieho poľa  $E$ , t. j. ak  $E_r = KE$ , kde  $K \sim 1$ .



Obr. 4. Počet iónových párov  $e^{**x}$  vytvorených elektrónovou lavínou pri prechode cez vzdialenosť 1 cm pri atmosférickom tlaku, medzi rovinatými elektródami pri štatistickom prieraznom napäti  $U_s$  ( $\alpha = 18,4$ ) [1].

Podľa Loeba a Meeka [1] pre prípad vzduchu možno  $E_\eta$  vyjadriť nasledovne

$$E_\eta = 5,27 \cdot 10^{-7} \frac{\alpha e^{\alpha x}}{(x/p)^{1/2}} V/cm \quad (14)$$

kde  $x$  je vzdialosť, ktorú prešla lavína. Všeobecne

$$E_\eta = \frac{4\alpha e^{\alpha x}}{3\sqrt{(2D/k) \cdot (x/E)}} \quad (15)$$

kde  $k$  je pohyblivosť elektrónov,  $D$  koeficient difúzie a  $e$  elektrický náboj.

Pomocou rovníc (12) a (14) možno určiť minimálne prierazné napätie pri danom  $d$  pre vzduch pri tlaku  $p$ . Takto určené hodnoty minimálneho prierazného napäcia sú v pomerne dobrom súlade s experimentálnymi hodnotami. Hodnota  $k$ , ako ukázali niektoré práce, neprevyšuje 0,5.

V tabuľke I sú uvedené teoretické a experimentálne hodnoty prierazných napätií pre rôzne  $d$  vo vzduchu, pri  $p = 760$  mm Hg [1]

Tabuľka I

$d$ cm	$U_s$ teoret. kV	$U_s$ exp. kV
0,1	5,19	4,60
0,5	18,25	17,10
1,0	32,20	31,00
2,0	58,00	59,60
2,5	70,50	73,00
5,0	132,00	138,00
6,0	154,80	164,40
10,0	249,00	264,00
15,0	363,00	386,00
16,0	384,00	412,80
20,0	474,00	510,00

Z porovnania teoretických a experimentálnych hodnôt prierazných napätií sa dá usúdiť, že mechanizmus prierazu veľmi malých  $d$  je skôr Townsendovským než streamerovým.

Streamerová teória dáva možnosť vypočítať prierazné napätie v homogénnom poli vo vzduchu, ktoré v prvom priblížení súhlasí s experimentálnymi údajmi. Táto teória neberie do úvahy sekundárne procesy na katóde, čo je v súlade s experimentálnym zistením, že vplyv materiálu katódy na prierazné napätie sa zmenšuje so zväčšovaním  $p$  a  $d$ .

Podľa Loeba nevyhnutnými podmienkami pre šírenie sa streamrov sú:

1. prítomnosť dostatočného množstva fotoelektrónov o vysokej energii v počiatočnej lavíne, nevyhnutných pre ionizáciu niektorých atómov plynu;
2. pohlcovanie takto vzniknutých fotónov (a tým vznik fotoelektrónov) v dostačne malej vzdialnosti od vrcholu streamru;
3. prítomnosť dostatočne silného priestorového náboja za čelom lavíny, aby sa mohli vytvárať príslušné sekundárne lavíny.

### III. Oneskorenie iskrového výboja a detekcie u iskrových počítačov a komôr

V doterajšej literatúre je určitá nejednotnosť v definovaní veličín, s ktorými sa operuje v tejto kapitole, preto je nutné ich predovšetkým jednoznačne definovať, prípadne niekoľko nových definícii zaviesť. Pritom sa pridržujeme streamerovej teórie iskrového výboja, ktorá najlepšie vystihuje procesy, prebiehajúce v iskrových počítačoch a iskrových komorách.

U iskrových počítačov, u ktorých je na elektródach konštantné napätie, pod oneskorením iskrového výboja  $T_{IV}$  budeme rozumieť časový interval medzi okamihom objavenia sa ionizujúcej častice v pracovnom priestore počítača a okamihom dovŕšenia prierazu medzi elektródami. V prípade impulzných iskrových počítačov a iskrových komôr definujeme oneskorenie iskrového výboja  $T_{IV}$  ako časový interval medzi momentom objavenia sa vysokonapäťového impulzu na elektródach a momentom dovŕšenia prierazu medzi elektródami.

Moment objavenia sa vysokonapäťového impulzu na elektródach je nutné tiež upresniť. Niektorí autori pokladajú za tento moment okamih objavenia sa začiatku nábehovej hrany vysokonapäťového impulzu na elektródach, iní pokladajú za tento moment okamih dosiahnutia maximálnej amplitúdy vysokonapäťového impulzu na elektródach. V prvom i druhom prípade takto určený časový okamih je začlenený určitou chybou, spôsobenou tým, že vysokonapäťový impulz nemá ideálnu pravouhlú formu. Nábehová hrana vysokonapäťového impulzu v mnohých prípadoch nie je lineárna, najmä nie jej horná časť. Z toho dôvodu bolo by najúčelnejšie považovať za okamih objavenia sa vysokonapäťového impulzu objavenie sa začiatku nábehovej hrany. Takto definovaný okamih je začlenený menšou neurčitosťou než v druhom prípade, i keď plne ani toto nevyhovuje.

Oneskorenie iskrového výboja  $T_{IV}$  možno rozdeliť na dve zložky; na štatistické oneskorenie iskrového výboja  $T_s$  a na dobu formovania sa prierazu (streamera)  $T_p$  medzi elektródami:

$$T_{IV} = T_s + T_p. \quad (16)$$

Štatistické oneskorenie v prípade iskrových počítačov s konštantným napäťom na elektródach predstavuje štatistický rozptyl medzi okamihom objavenia sa ionizujúcej častice v počítači a okamihom dovŕšenia iskrového výboja. V prípade impulzných iskrových počítačov a iskrových komôr je to štatistický rozptyl medzi okamihom privedenia vysokonapäťového impulzu na elektródy a okamihom dovŕšenia iskrového výboja.

Dobu formovania sa prierazu  $T_p$  za tých istých podmienok môžeme považovať za konštantnú veličinu, ktorá udáva dobu, potrebnú na prerastanie streamera od jednej elektródy k druhej, prípadne k obom, ak vznikne v strede výbojového priestoru.

Oneskorením detekcie  $T_D$  nazveme časový interval, medzi okamihom objavenia sa častice v iskrovom počítači alebo v iskrovej komore a okamihom dovŕšenia prierazu medzi elektródami. V prípade iskrových počítačov  $T_D = T_{IV}$ . V prípade impulzných iskrových počítačov a iskrových komôr  $T_D$  sa skladá z dvoch zložiek:

$$T_D = T_{VNI} + T_{IV}, \quad (17)$$

kde  $T_{VNI}$  je oneskorením vysokonapäťového impulzu a udáva časový interval medzi okamihom objavenia sa častice v pracovnom priestore počítača a okamihom privedenia vysokonapäťového impulzu na elektródy počítača. Podľa povahy zdroja

vysokonapäťového impulzu je  $T_{VNI}$  začlenené určitým štatistickým rozptylom  $T_{VNI,s}$ , t. j.

$$T_{VNI} = T_{VNI,s} + T_{VNI,K}, \quad (18)$$

kde  $T_{VNI,K}$  je konštantnou zložkou oneskorenia vysokonapäťového impulzu. Ďalej platí

$$T_D = T_{D,s} + T_{D,K} \quad (19)$$

kde

$$T_{D,s} = T_{VNI,s} + T_s, \quad T_{D,K} = T_{VNI,K} + T_p \quad (20)$$

Iskrové počítače sa používajú veľmi často v koincidenčnom zapojení. V tomto prípade  $T_s$  je vlastne kombináciou  $T_s$  od oboch iskrových počítačov.

Jedným z dôležitých parametrov iskrových počítačov a iskrových komôr je ich časová rozlišovacia schopnosť  $\xi$ . Je jasné, že  $\xi$  je určené hlavne tvarom a pološírkou krivky rozloženia  $T_s$ , prípadne  $T_{Ds}$ . Pod pološírkou rozumieme celú šírku krivky rozloženia  $T_s$  v polovici jej celkovej výšky.

Z hľadiska fyzikálnych meraní najvýznamnejšie sú iskrové počítače a iskrové komory s rovnobežnými rovinnými elektródami, teda s homogénym elektrickým poľom medzi elektródami. Všimnime si preto podrobnejšie uvedenej veličiny pre prípad homogénneho elektrického poľa.

Už z predošlých prác [1] je známe, že štatistické oneskorenie  $T_s$  spočiatku rýchle, potom miernejšie, ale stále sa zmenšuje s prepäťom  $U_p$ .

L. Madansky a R. W. Pidd [4] dosiahli u iskrových počítačov v koincidenčnom zapojení pri prepäti  $U_p = 5$  V,  $T_s = 10^{-6}$  sec. Zvýšením  $U_p$  na 300 V zmenšil sa  $T_s$  na  $1,8 \cdot 10^{-8}$  sec. Ďalším zvýšením  $U_p$  na 1000 V kleslo  $T_s$  na  $6 \cdot 10^{-9}$  sec. Rozloženie  $T_s$  pre  $U_p = 300$  V a  $U_s = 1000$  V znázorňuje obrázok 5. Podobné výsledky boli dosiahnuté aj v ďalších prácach [5, 6, 7], v ktorých boli iskrové počítače zapojené tiež v koincidenции. Namerané hodnoty pološírky krivky rozloženia relatívnych oneskorení  $T_s$  medzi sebou dobre súhlasia a majú hodnotu  $5 \cdot 10^{-9}$  sec.

Keuffel [5] spozoroval, že rozloženie  $T_s$  je vlastne zložené z troch zložiek. Prvá zložka tzv. „dlhé  $T_s$ “, ktoré svojou hodnotou daleko prevyšuje zbyvajúce zložky, je spôsobená okrajovým efektom, zapríčineným nehomogenitami a zoslabením poľa na okrajoch elektród. Začne sa podstatnejšie prejavovať pri vyšších hodnotách prepäťia. Vzhľadom na jeho relatívne veľkú hodnotu je ľahko rozoznateľné od ďalších zložiek. Druhá zložka tzv. „krátke  $T_s$ “ je zapríčinená nehomogenitami poľa vyvolaného nerovnosťami na povrchu elektród. Treťou zložkou  $T_s$  je vlastná štatistická fluktuácia streamerového výboja. Aby bolo možné určiť, aká časť z celkového štatistického oneskorenia  $T_s$  je zapríčinená okrajovým efektom, aká časť pochádza od nerovnosti povrchu a aká časť pripadá na štatistický rozptyl iskrívneho výboja, by bolo potrebné uskutočniť rozsiahle experimentálne vyšetrovanie.

Babykin a spolupracovníci [8] dosiahli  $T_s = 4 \cdot 10^{-10}$  sec. pri  $E = 100 - 150$  kV/cm. Vzdialenosť elektród bola 0,2 mm, tlak plynu do 10 atm. Paralelnosť elektród bola zaručená na  $2 \cdot 10^{-3}$  mm. Ako plynová náplň bol použitý argón s prímesou éteru.

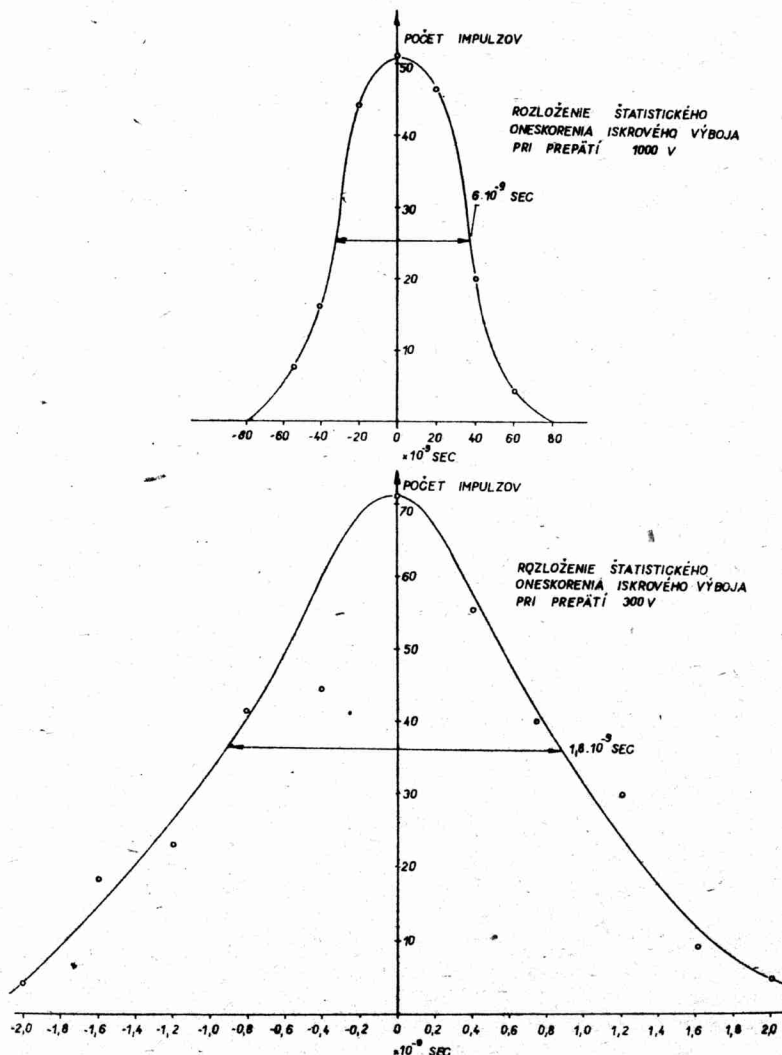
Ďalšie skrátenie  $T_s$  bolo dosiahnuté Zavojskim a Smolkinom [9] ktorí u iskrových počítačov v koincidenčnom zapojení dosiahli  $T_s = 10^{-10}$  sec. Táto hodnota bola dosiahnutá pri  $E = 180$  kV/cm, tlaku  $p = 13$  atm a vzdialosti elektród  $d = 0,2$  mm.

Takáto vysoká intenzita elektrického poľa medzi elektródami kladie značné požiadavky na homogenitu poľa. Povrch elektród musí byť vysoko leštený a nesmú

na ňom ostať ani najmenšie stopy po nečistote. Nedostatočná paralelnosť elektród znižuje tiež dosiahnutelné prepätie. Podobne okraje elektród musia byť veľmi starostlivo riešené, zaoblené alebo potiahnuté izolačnou vrstvou, aby nehomogenity pola spôsobené okrajmi elektród boli minimálne.

Madansky a Pidd [4] zmenšením vzdialenosťi elektród zo 4 mm na 1 mm skrátili  $T_s$  z  $3 \cdot 10^{-9}$  sec. na  $1 \cdot 10^{-9}$  sec. Zároveň so zmenšovaním vzdialenosťi elektród je však nutné zvýšiť tlak plynovej náplne a organických prímesí, aby počítač pracoval spoľahlivo a mal dostatočnú účinnosť.

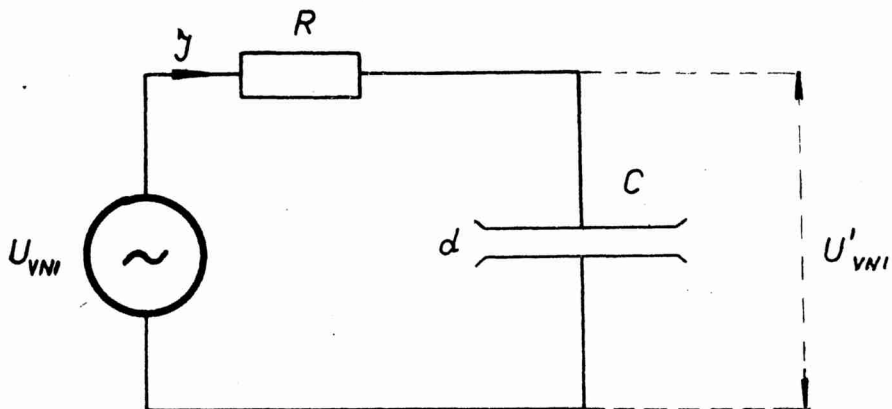
Vplyv organických prímesí, ako i samotnej plynovej náplne na  $T_s$  je značný.



Obr. 5. Typické rozloženie štatistického oneskorenia  $T_s$  pre iskrový počítač s rovinnými elektródami pri prepäti  $U_p = 300$  V a  $U_p = 1000$  V [4].

Parciálny tlak organických prímesí silne vplyva na prahové napätie. Zmena tlaku pár alkoholu o 200 mm Hg posunula prahové napätie o 700 V vyššie pri  $d = 0,2$  mm, čo odpovedá zvýšeniu intenzity poľa  $E$  o 35 kV/cm, čo môže zbadateľne zmenšiť  $T_s$  [8].

Podrobnejšie vyšetrovanie vplyvu rôznych parametrov na priemernú hodnotu  $T_{IV}$  pre iskrové komory a pre impulzné iskrové počítače uskutočnili Fischer a Zorn [10]. Pre porovnanie experimentálnych údajov s hodnotami vyplývajúcimi z teórie, sa Fischer a Zorn pridržiavali práce F. B. Dickeya [11] a R. C. Fletchera [12]. Náhradný obvod pre výpočet  $T_{IV}$  je uvedený na obr. 6.



Obr. 6. Náhradný obvod pre výpočet oneskorenia iskrového výboja u iskrových počítačov a iskrových komôr [10].

Predpokladajme, že v čase  $t = 0$  už leží na iskrovej komore predstavovanej svojou kapacitou  $C$  napätie  $U_{VNI}$ , privezené z generátora vysokonapäťových impulzov cez odpor  $R$ , a že v priestore medzi elektródami, vzdialenými od seba na  $d$  cm, je  $N_0$  voľných elektrónov, vytvorených ionizujúcou časticou, ktorá prešla cez iskrovú komoru. Budeme ďalej predpokladať, že elektrónová lavína sa vytvorí ešte pred dosiahnutím anódy elektrónami, t.j. že doba potrebná na prechod elektrónov cez  $d$  je väčšia ako  $T_{IV}$ . Za týchto predpokladov v súlade s Dickeyom platí nasledovný vzťah v čase  $t > 0$  pre  $U'_{VNI}(t)$  na kapacite  $C$ :

$$U'_{VNI}(t) = U_{VNI} - \frac{1}{C} \left[ \sum_{i=1}^N \frac{e}{d} (X_i^- - X_i^+) - \int_0^t J dt \right] \quad (21)$$

kde

$$J = \frac{U_{VNI} - U'_{VNI}}{R}$$

je prúd vo vonkajšom obvode (indukčnosť obvodu je zanedbaná).  $N$  je počet elektrónov medzi elektródami,  $X_i^+$  je vzdialenosť i-tého kladného iónu vzhľadom na katódu, meraná v smere poľa a  $X_i^-$  je vzdialenosť i-tého elektrónu.

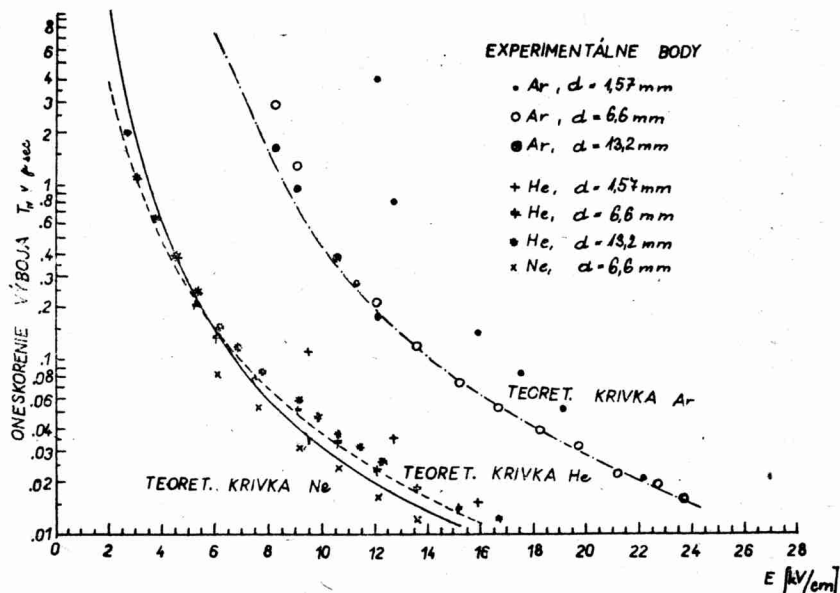
Podľa Dickeya rovnica (21) môže byť napísaná v nasledovnom tvare

$$C \frac{dU'_{VNI}}{dt} = -\frac{e v N_0}{d} \cdot e^{j \omega t} + J \quad (22)$$

kde  $\alpha$  je Townsendov prvý koeficient ionizácie vyjadrený počtom iónových párov na 1 cm a  $v$  je priemerná rýchlosť driftu v cm/sec. Ak v čase od  $t = 0$  do  $t = T_{IV}$ , keď dochádza k rýchlemu prechodu lavíny v streamer, považujeme  $\alpha$  a  $v$  za nepremenné, dostaneme nasledovné riešenie pre  $T_{IV}$ :

$$T_{IV} = \frac{1}{\alpha \cdot v} \ln \left[ \frac{J \cdot d}{N_0 \cdot e \cdot v} (1 + RC\alpha v) \right] \quad (23)$$

Použitím rovnice (23) bola vypočítaná hodnota  $T_{IV}$  pre  $d = 1,57$  mm; 6,6 mm a 13,2 mm. Výsledok porovnania experimentálnych údajov s vypočítanými hodnotami znázorňuje obr. 7.

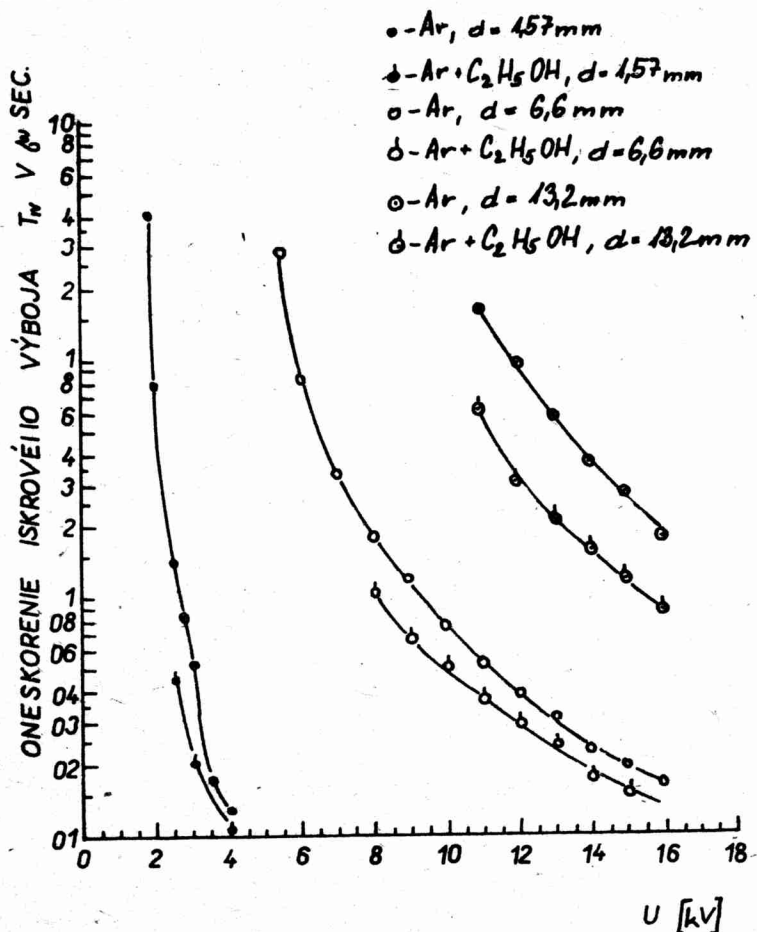


Obr. 7. Porovnanie vypočítaných hodnôt oneskorenia iskrového výboja  $T_{IV}$ -s experimentálnymi údajmi v závislosti od intenzity poľa [10].

Odchýlky od vypočítaných hodnôt môžu byť zapríčinené nedostatočnými experimentálnymi údajmi pre  $\alpha$  a  $v$ , ale i vplyvom prímesí, ktoré môžu zapríčiniť značnú zmenu  $\alpha$  a  $v$ . Naskytá sa problém, aký stupeň znečistenia inertných plynov začne badateľ vplývať na  $T_{IV}$  a akým spôsobom.

Pri porovnaní výsledkov pre rôzne  $d$  bol zistený pomerne dobrý súhlas pre  $d = 6,6$  mm a 13,2 mm. Pri menších vzdialenosťach ( $d = 1,57$  mm) vypočítaná hodnota  $T_{IV}$  je menšia, než bola experimentálne zistená. Pri tejto vzdialnosti doba potrebná na prechod elektrónu cez  $d$  je pomerne malá vzhľadom na  $T_{IV}$ , čo je v rozpore s predpokladom [13]. Tým, že elektróny dopadnú na anódu skôr, než dôjde k rýchlemu rozvoju prierazu, zmenší sa počet elektrónov vo výbojovom priestore, čo vedie k predĺženiu doby potrebnej na rast lavíny do kritických rozmerov, čo súhlasí s experimentálnymi údajmi. Pri vyšších napätiach je súhlas pri malých vzdialenosťach elektród lepší, pravdepodobne preto, že  $\alpha$  závisí viac od  $E$  ako

od  $v$ . Vzhľadom na rovnici (23) pri uvedenej interpretácii môžeme pozorovať, že  $T_{IV}$  je len mierne ovplyvnené narastaním  $N_0$  z jeho minimálnej hodnoty rovej jednej.  $N_0$  je úmerné ionizačnej schopnosti čästice prešej cez iskrovú komoru, preto môžeme dodať, že ani ionizačná schopnosť čästice podstatnejšie neovplyvní oneskorenie iskrového výboja. Vplyv zmeny parametrov  $R$ ,  $C$ ,  $J$  a  $\alpha$  bude zrejme tiež mierny.

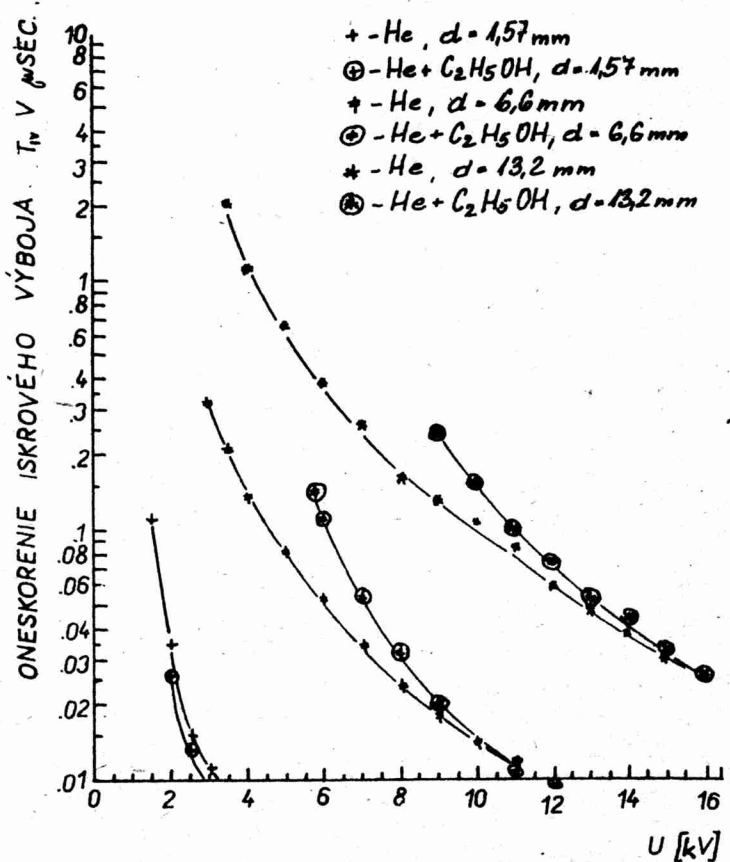


Obr. 8. Experimentálna závislosť oneskorenia iskrového výboja  $T_{IV}$ , pre Ar a pre Ar s prímesou alkoholu, od použitého napätia [10].

Pri zmene  $T_{VNI}$  od  $2 \cdot 10^{-7}$  sec. do  $1 \cdot 10^{-6}$  sec. neboli zistený značnejší rozdiel v hodnote  $T_{VNI}$  v plynoch bez alkoholu a pre prípad, že  $U_\epsilon$  bolo opačnej polarity ako vysokonapäťový impulz. Ani častiace napätie  $U_\epsilon$  do 120 V nemalo badateľný vplyv na  $T_{IV}$ . V zmesi argónu a hélia s prímesou alkoholu bolo použité  $U_\epsilon = +600$  V, pripojené ku katóde, aby sa dosiahla účinnosť  $\eta$  blízka nule. V plynoch bez alkoholu vplyvom metastabilných atómov a fotoelektrického javu je fažké dosiahnuť účinnosť blízku nule. Ani v prípade, že  $\eta \approx 0$  nebola zistená podstatnejšia zmena v hodnote  $T_{IV}$ .

Ani zmena materiálu elektród, podobne ako predošlé parametre, nespôsobila značnejšiu zmenu  $T_{IV}$ .

Výsledky experimentálneho vyšetrovania  $T_{IV}$  pre rôzne  $d$  v závislosti od  $U_{VNI}$  a plynovej náplne znázorňuje obr. 8, 9 a 10. Z nich možno vyčítať nasledovné všeobecne charakteristiky: a)  $T_{IV}$  rýchle klesá, až o niekoľko rádov, pri zvyšovaní intenzity pola. b)  $T_{IV}$  je rôzne pre rôzne plyny. c) Pridaním organických párov (alko-

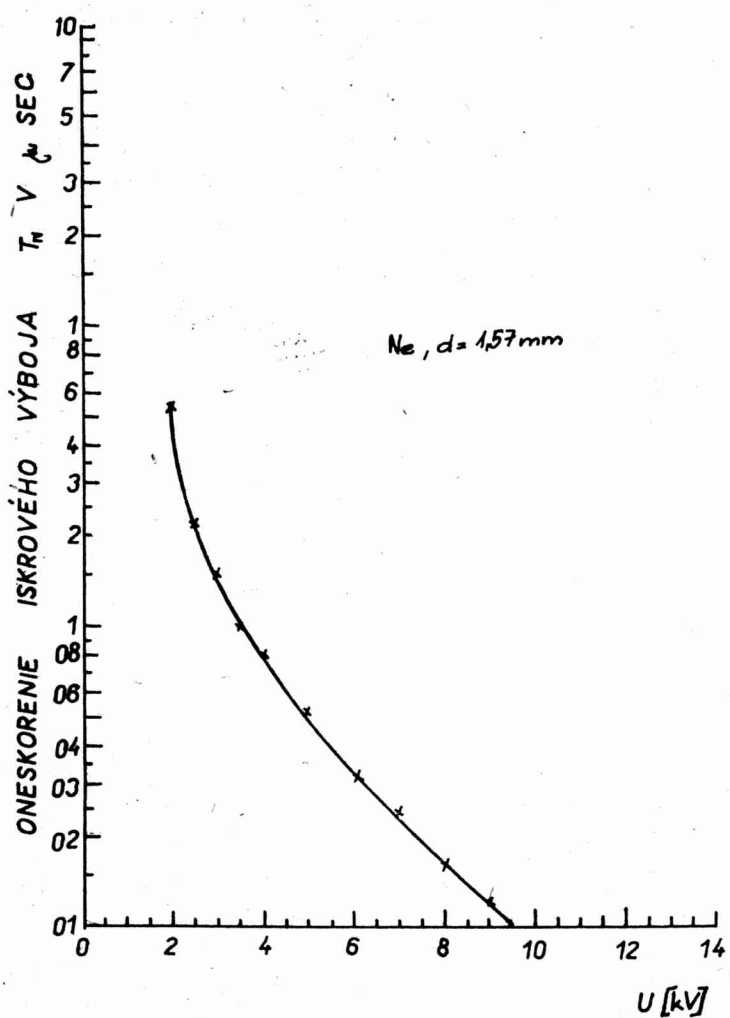


Obr. 9. Experimentálna závislosť oneskorenia iskrového výboja  $T_{IV}$ , pre He a pre He s prímesou alkoholu, odpoužitého napätia [10].

holu) do plynovej náplne výsledná krivka  $T_{IV}$  sa posunie smerom ku kratším časom pre argón a smerom k dlhším časom pre hélium.

Z údajov Fischera a Zorna [10] vyplýva, že podstatný vplyv na priemernú hodnotu  $T_{IV}$  má napätie  $U_{VNI}$  a použitá plynová náplň. Tieto výsledky sú v súlade s výsledkami Fletschera [12], ktorý porovnal experimentálne údaje  $T_{IV}$  s vypočítanými (obr. 11) za predpokladu, že  $T_{IV}$  je určené predovšetkým dobou, potrebnou pre rast lavíny do kritických rozmerov. Podľa Fletchera  $T_{IV}$  závisí len od  $E$  a nezávisí

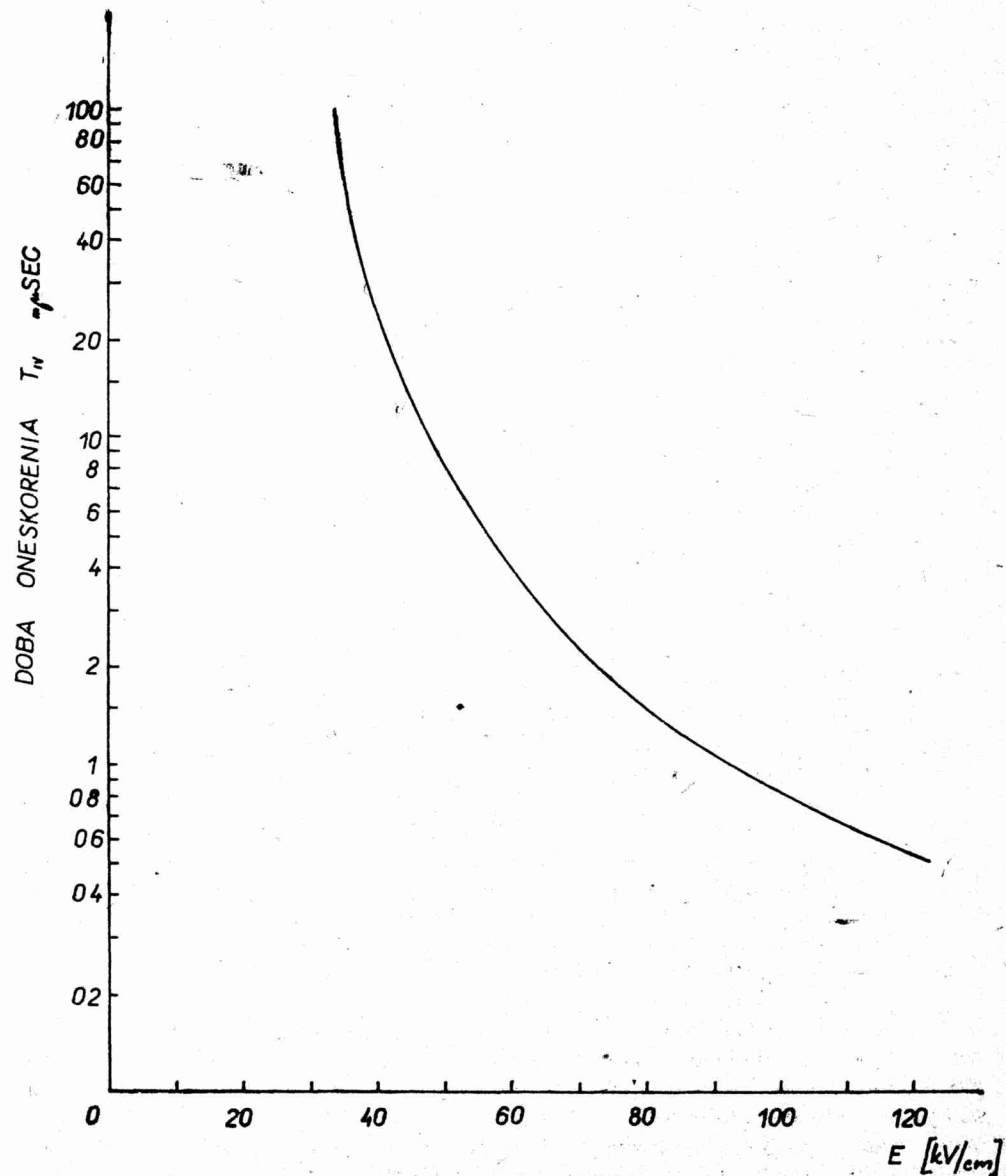
od  $d$  a  $U$ . V prípade väčších intenzít poľa tento záver bol aj experimentálne potvrdený. V prípade veľmi malých prepäťí veľká hodnota  $T_{IV}$  je vysvetlovaná tým, že proces prierazu je viazaný pôsobením kladných iónov. So zväčšovaním prepäťia nastáva nepretržité zmenšovanie  $T_{IV}$ , čo svedčí o tom, že s rastúcou intenzitou poľa vplyv



Obr. 10. Experimentálna závislosť oneskorenia iskrového výboja  $T_{IV}$ , pre Ne, od použitého napätia [10].

kladných iónov postupne slabne, až nakoniec  $T_{IV}$  sa stane takým krátkym, že kladné ióny možno považovať za nepohyblivé cez celé obdobie rozvoja iskrového výboja. Kladné ióny v tomto prípade budú pôsobiť na rozvoj iskrového výboja len sekundárne deformáciami poľa medzi elektródami. Otázka vplyvu kladných iónov na rozvoj iskrového výboja, a teda aj na  $T_{IV}$  nie je však doriešená.

Pre skrátenie  $T_{IV}$  na minimálnu možnú mieru aj v súlade s predošlými prácami [4, 5, 7, 8, 9] je nutné povrch a okraje elektród upraviť tak, aby bolo možné použiť čo najväčšie prepätie, prípadne čo najväčšiu amplitúdu vysokonapäťového impulzu. Za tým istým účelom je nutné vyhnúť sa takým prímesiam v plynovej náplni, ktoré by absorbovali elektróny a vytvárali negatívne ióny. Problém je v tom, že práve po-



Obr. 11. Závislosť oneskorenia iskového výboja od intenzity pola pre prípad vzduchu podľa Fletchera [12].

užívané zhášacie prímesi majú veľkú schopnosť absorpcie elektrónov. Z toho by vypĺňala nutnosť používať veľmi čisté plyny bez organických prímesí. Tento záver nie je však jednoznačný a problém plynovej náplne a organických prímesí z hľadiska skrátenia  $T_{IV}$  by vyžadoval ďalší podrobnejší experimentálny i teoretický rozbor.

#### IV. Rozlišovacia schopnosť

Časová rozlišovacia schopnosť iskrových počítačov  $\xi_{IP}$  je určená štatistickým rozptylom oneskorenia iskrového výboja  $T_s$  a dĺžkou nábehovej hrany napäťového impulzu, vytvoreného iskrovým výbojom. Pre rozlišovaciu schopnosť  $\xi_{IP}$  konštantná zložka oneskorenia t. j. doba formovania streameru  $T_p$  nemá význam.

Pri porovnanie možno uviesť, že u G-M trubíc je  $\xi$  v najoptimálnejších prípadoch  $10^{-7}$  sec. Ako sme videli v kapitole III. štatistické oneskorenie iskrového výboja v prípade rovinných elektród je najčastejšie okolo  $10^{-9}$  sec, ale v niektorých prácach bolo dotiahnuté aj  $\xi_{IP} = 10^{-10}$  sec. [9]. Tento markantný rozdiel v rozlišovacej schopnosti u oboch typov plynových počítačov je určený predovšetkým tvarom elektrického poľa medzi elektródami. U iskrových počítačov s rovinnými elektródami je pole všade homogénne a umožňuje rozvoj iskrového výboja bez driftu primárnych elektrónov do oblasti silnejšieho poľa, ako je to nutné pri inom geometrickom usporiadaní elektród.

Pri Gaussovskom rozložení štatistického oneskorenia iskrového výboja je jedna pätnina pološírky krivky rozloženia  $T_s$  najkratší poločas, ktorý možno ešte zmerať počítačmi v koincidenčnom zapojení. Iskrovým počítačom, vytvoreným Zavojskím [9], možno teda merať poločasy až  $2 \cdot 10^{-11}$  sec. Pri takých krátkych dejoch začínajú byť merania silne ovplyvnené regisračným zariadením. Ukazuje sa výhodným použiť ako regisračné zariadenie elektrónovo-optické konvertory, ktoré dosahujú rozlišovaciu schopnosť  $6 \cdot 10^{-12}$  sec. [14], prípadne ešte lepšiu. Použitie elektrónovo-optického konvertora je umožnené svetelným zábleskom iskrového výboja.

U iskrových počítačov je nábehová hrana napäťového impulzu za určitých podmienok značne kratšia ako u iných typov počítačov, najmä plynových. Nábehová hrana napäťového impulzu je určená predovšetkým dobu príerazu iskrového výboja. Táto doba, ako sme videli v predchádzajúcej kapitole, je mimoriadne krátka u iskrových počítačov s rovinnými elektródami pri veľkom prepäti. Amplitúda impulzov od iskrového výboja môže dosiahnuť hodnotu niekoľko sto, ba až tisíc volty, čo umožňuje skratiť celkovú dĺžku impulzu napríklad použitím derivačného obvodu na  $10^{-9}$  sec., alebo ešte viac. Veľmi krátke nábehové hrany boli dosiahnuté v prácach [4, 8; 9, 15, 16]. Rozdelením povrchu elektród na viac sekcií, navzájom izolovaných, dá sa docieliť krátká nábehová hrana a dĺžka impulzu aj u veľkoplošných počítačov [8]. Tieto výsledky ukazujú, že rozmery elektród majú vplyv na dobu rozvoja iskrového výboja.

Pod časovou rozlišovacou schopnosťou impulzných iskrových počítačov a iskrových komôr  $\xi_{IK}$  budeme rozumieť minimálnu dobu, ktorá musí uplynúť medzi prechodom dvoch častíc cez iskrovú komoru, aby pravdepodobnosť registrácie stopy staršej častice poklesla na nejakú danú hodnotu. Za túto hodnotu si môžeme zvoliť napr. 1 %. Počet iónových párov, vytvorených medzi elektródami ionizujúcou časticou, prešľou cez iskrovú komoru, klesá úmerne s časom, ktorý uplynie od okamihu ich vytvorenia. Úmerne s týmto časom bude klesať i pravdepodobnosť vytvorenia iskrového výboja v mieste prechodu častice cez iskrovú komoru po privedení

vysokonapäťového impulzu. Úmerne s časom sa pokles pravdepodobnosti vyvolania iskrového výboja zmierňuje zásluhou záporných iónov a metastabilných atómov, vytvorených pri prechode ionizujúcej častice cez plynovú náplň iskrovej komory. Z tohto dôvodu nebolo by užitočné a ani dosť dobre možné pri definovaní  $\xi_{IK}$  uvedenú pravdepodobnosť položiť rovnú nulu. Taký parameter by veľmi nedostatočne vyjadroval rozlišovaciu schopnosť iskrových komôr, prípadne impulzných iskrových počítačov.

V literatúre je pomerne veľká rôznorodosť pri definovaní rozlišovacej schopnosti iskrových komôr. Napríklad dobou zapamätania (memory time)  $T_Z$  sa nazýva časový interval, ktorý uplynie medzi momentom prechodu ionizujúcej častice cez iskrovú komoru s momentom privedenia vysokonapäťového impulzu na iskrovú komoru, počas ktorého pravdepodobnosť vytvorenia iskrového výboja klesne k nejakej danej hodnote. Za túto hodnotu sa vyberá obyčajne polohu zapamätania (storage half-life)  $T_{1/2}$ , alebo  $T_Z$  sa vzťahuje k  $1\% - T_{1/2}$ , prípadne k základu prirodzených logaritmov e.  $T_{1/2}$  je doba, za ktorú klesne pravdepodobnosť vzniku iskrového výboja na polovicu. Niekoľko sa používa namiesto predošlých termínov tzv. čistiaca doba  $T_c$  (clearing time) alebo výraz rovnakého významu tzv. doba zachovania stopy (storage time). V mnohých prípadoch nie je jasné, o ako definovanú rozlišovaciu schopnosť ide, preto porovnanie dosiahnutých výsledkov je dosť fažké.

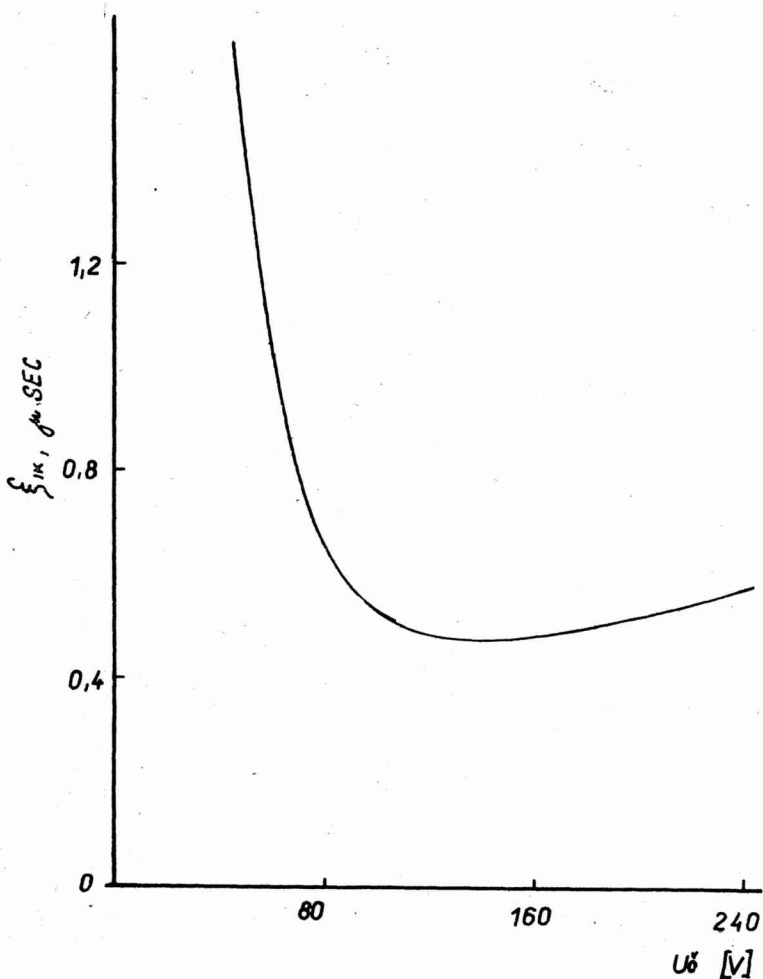
Príliš malá rozlišovacia schopnosť  $\xi_{IK}$ , prípadne veľká doba zapamätania by mohla byť žiadúca pri registrácii nejakých oneskorených procesov. V prevažnej väčšine prípadov však malé  $\xi_{IK}$  nie je žiadúce, lebo vnáša do meraní neistotu ohľadom totožnosti registrovaných častíc, najmä ak iskrová komora pracuje v intenzívnom zväzku. Okrem toho zbytočne predĺžuje mítvu dobu  $T_m$ . Zlepšenie  $\xi_{IK}$  sa dosieľuje tým, že medzi elektródy iskrovej komory sa priloží konštantné, nie príliš veľké jednosmerné napätie, tzv. čistiace napätie  $U_c$  (clearing voltage).

Čistiace napätie  $U_c$  musí byť menšie, než je minimálna hodnota štatistického priestraného napäťia.  $U_c$  usmerní a urýchli pohyb primárnych iónov a elektrónov smerom k elektródam. Takto možno zmenou  $U_c$  v určitých hraniciach meniť  $\xi_{IK}$ . Mnohí autori dosiahli  $\xi_{IK} = 10^{-7} - 10^{-6}$  sec. [10, 17, 18, 19, 20] pri  $U_c = 0 - 400$  V. Ďalšie zlepšenie  $\xi_{IK}$  bolo vo väčšine prípadov obmedzené oneskorením vysokonapäťového impulzu  $T_{VNI}$ . Bolo by zrejme fažké nájsť uplatnenie pre iskrovú komoru, ktorá by nebola schopná zapamätať si stopu častice, ktorá spustením koincidenčného obvodu uviedla iskrovú komoru do činnosti, i keď ani taká možnosť nie je vylúčená. Problém zlepšenia  $\xi_{IK}$  vedie teda predovšetkým k problému skrátiť oneskorenie spúšťacieho koincidenčného obvodu a generátora vysokonapäťových impulzov.  $\xi_{IK}$ , lepšie ako  $10^{-6}$  sec. sa dosahuje použitím vzácných plynov (Ar, Ne, He). V prípade, že v náplni iskrovej komory sa nachádzajú elektricky záporné plyny,  $\xi_{IK}$  je značne horšie. V prípade vzduchu,  $N_2$  a  $CO_2$  je  $\xi_{IK} = 10^{-4}$  sec. [21, 22]. Pri skúmaní  $\xi_{IK}$  ako funkcie  $U_c$  Cronin [18] zistil, že táto krvka má plytké minimum (obr. 12). Po tomto minime, ktoré v tomto prípade bolo pri  $U_c = 140$  V,  $\xi_{IK}$  sa začalo znova zhoršovať. Bolo by však potrebné urobiť podrobnejšiu analýzu tejto závislosti a zistiť, či také minimum je charakteristické len pre určitý prípad, alebo platí všeobecne.

Fischer a Zorn [10] vyšetrovali vzťah medzi minimálnym  $U_c$ , potrebným pre zamedzenie detekcie a medzi oneskorením vysokonapäťového impulzu (obr. 13) pre Ar a He s nasýtenými parami alkoholu a  $d = 6,6$  mm. Krvka je rovnaká pre zmes Ar +  $C_2H_5OH$ , i pre He +  $C_2H_5OH$ , z čoho možno usudzovať, že prevláda vplyv alkoholu pre danú závislosť. Získané hodnoty dovoľujú určovať priemernú hod-

notu driftu elektrónov v rôznych plynových zmesiach. Je zrejmé, že polarita čistiaceho napäťa má byť opačná, než je polarita vysokonapäťového impulzu.

Oproti predošlým prácам dosiahol pomerne lepšie výsledky Lederman [23], ktorý za určitých špeciálnych podmienok dosiahol  $T_{VNI} \leq 5 \cdot 10^{-8}$  sec., čo mu dovolilo použiť  $U_e = 900$  V.

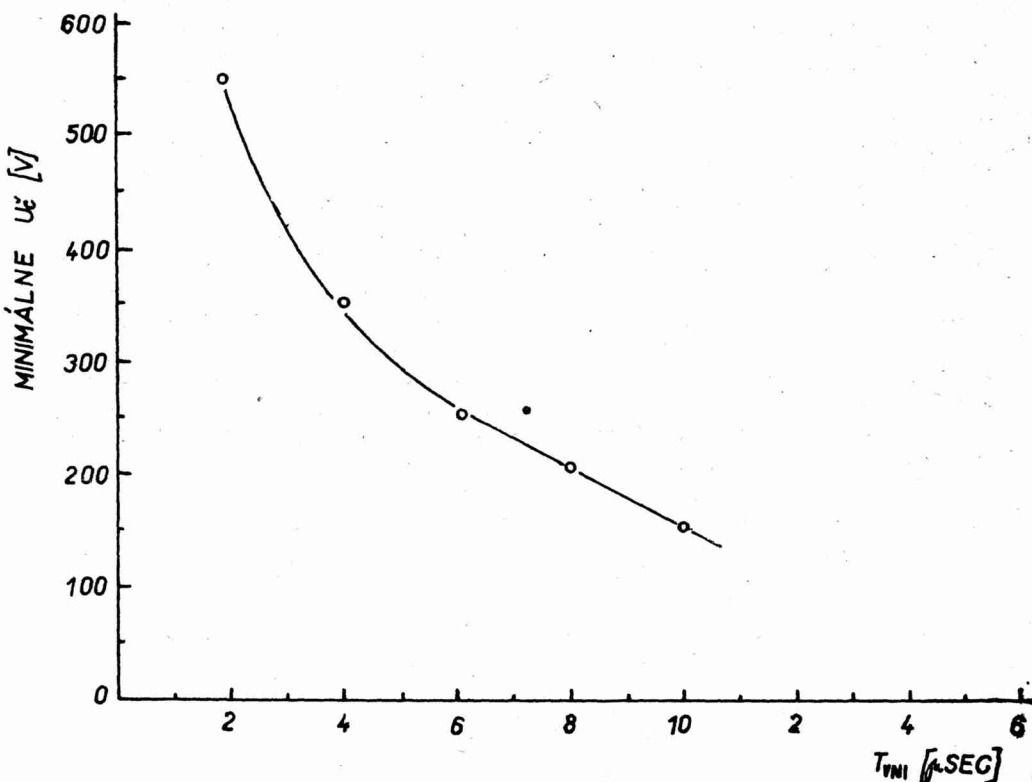


Obr. 12. Závislosť rozlišovacej schopnosti (doby citlivosti) iskrovej komory od použitého čistiaceho napäťa [18].

Zhoršenie  $\xi_{IK}$  nastáva, ak iskrová komora pracuje v magnetickom poli. Vplyvom magnetického poľa sa spomaľuje odsávanie elektrónov čistiacim poľom, čo nevhnutne vedie k predĺženiu doby zapamätania, t. j. k zníženiu  $\xi_{IK}$ . Vyšetrovanie závislosti  $T_z$  od magnetického poľa uskutočnil Cork [18].

Bolo by potrebné uvážiť, do akej miery je citlivá iskrová komora na registráciu

častic počas doby, keď sa už medzi elektródami vytvoril iskrový výboj. V prípade, že by sa spozorovalo vytváranie iskrového výboja medzi elektródami, spôsobeného ionizujúcou časticou, prešlo cez iskrovú komoru počas trvania iskrového výboja, vneslo by to do  $\xi_{IK}$  ďalšiu neistotu, lebo  $\xi_{IK}$  by bolo závislé od dĺžky vysokonapäťového impulzu.



Obr. 13. Závislosť minimálneho čistiaceho napätia potrebného na zamedzenie detekcie, od oneskorenia vysokonapäťového impulzú.  $d = 6,6 \text{ mm}$ , plynová náplň Ar + alkohol, alebo He + alkohol [10].

#### V. Mŕtva doba

Problém mŕtvej doby  $T_m$  je spoločný pre iskrové počítače i pre impulzné iskrové počítače a iskrové komory. Mŕtvou dobou u iskrových počítačov nazývame taký časový interval, po uplynutí ktorého, po opäťovnom privedení vysokého napätia na iskrový počítač alebo vysokonapäťového impulzu na iskrovú komoru, pravdepodobnosť, že sa znova objaví predchádzajúci iskrový výboj, klesne na uvedenú hodnotu. Za tuju hodnotu možno si zvoliť napr. 1 %. V prípade iskrovej komory mŕtva doba  $T_m$  úzko súvisí s časovou rozlišovacou schopnosťou  $\xi_{IK}$ , ináč povedané s dobor zapamäťania stopy častice  $T_z$ , nie sú však tieto veličiny totožné. Mŕtva doba je vlastne dobor zapamäťania stopy iskrového výboja. Dĺžka mŕtvej doby sa pohybuje obvykle medzi  $10^{-2}$  a  $10^{-3}$  sec. Pomerne veľká mŕtva doba u iskrových

počítačov je spôsobená prevažne tými istými príčinami ako dlhá doba zapamätania  $T_z$ . Je to predovšetkým vytváranie metastabilných atómov v plynovej náplni. Aby počet znovuzapálených iskrových výbojov na starnej stope bol napr. iba 1 % z celkového počtu impulzov, je nutné, aby v okamihu privedenia vysokého napätia alebo vysokonapäťového impulzu, v mieste prechodu novej častice bola relatívne oveľa väčšia koncentrácia elektrónov a kladných iónov než na mieste predchádzajúceho iskrového výboja. To bude splnené iba vtedy, ak pri znovuprivedení vysokého napätia podstatná časť metastabilných atómov už prešla do pôvodného stavu. Ak sa napätie privedie predčasne, môže sa stará iskra zapáliť znova, alebo za určitých podmienok súčasne aj iskra na novšej stope [24].

Z používaných inertných plynov najviac metastabilných atómov vzniká v argóne [23],  $T_m = 10^{-3}$  sec. pre Ar;  $5 \cdot 10^{-4}$  sec. pre Ne, a daleko menšie pre He. V prípade argónu môže nastať znovuzapálenie starej iskry aj po viac ako jednej sec., i keď s malou pravdepodobnosťou. Počet vytvorených metastabilných atómov bude zrejme závisieť od dĺžky použitého vysokonapäťového impulzu, množstva náboja prešlého cez výboj, ako aj od celkového napätia. Zmenšenie vplyvu metastabilných atómov nastane použitím organických prímesí v plynovej náplni. Napr. pridaním páru alkoholu do argónu až do hodnoty blízkej nasýtenému stavu sa podarilo zmenšiť vplyv metastabilných atómov. Značnú závislosť mŕtvej doby od materiálu katódy iskrových počítačov zistili Pidd a Madanský [7]. Oneskorená emisia elektrónov z povrchu katódy značne predlžuje mŕtvu dobu u niektorých kovov. Pri  $U_p = 200$  V našli tieto hodnoty uvedené v tab. II.

Tabuľka II

sec.	$10^{-1}$	$10^{-2}$	$10^{-3}$
materiál katódy	Al Au Pt mosadz	Cu Bi	Pb Sn

Pri týchto meraniach sa mŕtva doba vzťahovala k 10 % znovuzapálených iskier.

Použitie čiastiaceho napätia u iskrových komôr a iskrových počítačov viedie ku skráteniu mŕtvej doby. Iskrové komory môžu v súčasnosti pracovať maximálnou frekvenciou 200–250 záberov za sec., vzhľadom na nevyhnutnú mŕtvu dobu.

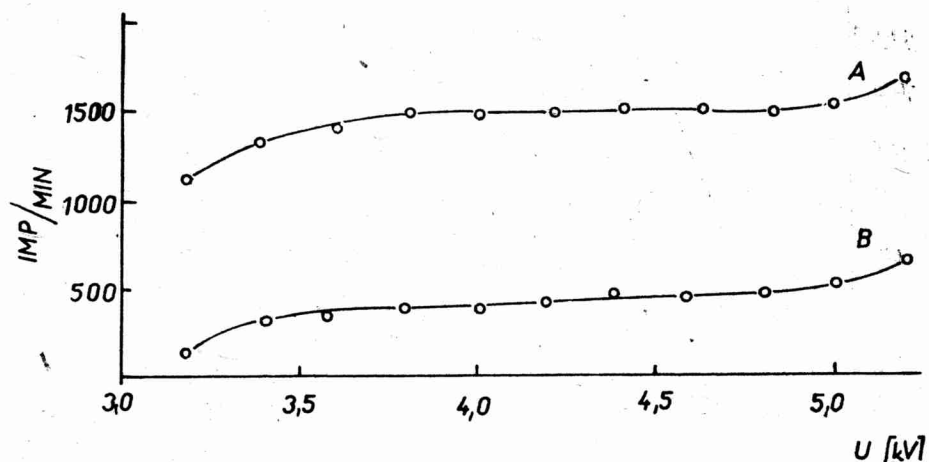
## VII. Účinnosť

Účinnosť iskrových počítačov  $\eta$  s trvalým napätiom na elektródach je pomer počtu zaregistrovaných častic  $N_1$  k počtu častic  $N_0$ , prešlých cez pracovný priestor počítača za tu istú dobu, t. j.

$$\eta = \frac{N_1}{N_0} \cdot 100 \%$$

U dobrých iskrových počítačov sa môže účinnosť priblížiť k 100 %. Pracovná oblasť iskrového počítača sa začína tam, kde je napätie medzi elektródami dosta-

točné k tomu, aby niektoré lavíny, zapríčinené ionizujúcou časticou, ktorá prešla cez iskrový počítač, mohli prerásť v streamer. Ďalším zvyšovaním prepäťia účinnosti počítača spočiatku rýchlo stúpa, až kým dosiahne plateau, ktoré v prípade iskrových počítačov dosahuje dĺžku niekoľkých tisíc voltov. Koniec pracovnej oblasti je pri takom prepäti, pri ktorom počet nepravých prieťazov začne silne narastať. Sklon plateau býva niekoľko percent [5] a ukazuje miernu závislosť od menej doby, čo platí aj pre dĺžku plateau. U dobrých iskrových počítačov sa dosahuje 98–99 %-ná účinnosť už aj pri menšom prepäti. To naznačuje, že sklon plateau bude asi zaprísťený okrajovými a povrchovými nehomogenitami, nedostatočnou paralelnosťou elektród,



Obr. 14. Napäťová charakteristika dvoch iskrových počítačov s rovinnými elektródami. Plynová náplň  $O_2 + Ar$ ;  $p(O_2) = 600 \text{ mm Hg}$ ,  $p(Ar) = 3,7 \text{ atm}$  [15].

ako aj pôsobením metastabilných atómov, prípadne ešte niekoľkými ďalšími príčinami. Typický priebeh napäťovej charakteristiky iskrového počítača znázorňuje obr. 14.

Theoretickou účinnosťou iskrovej komory  $\eta_t$  je pravdepodobnosť, že v okamihu privedenia vysokonapäťového impulzu na elektródy sa nachádza v pracovnom objeme aspoň jeden ión, schopný zapríčiniť iskrový výboj. Experimentálnou účinnosťou  $\eta_e$  je pomer počtu iskrových výbojov  $N$  k počtu pravých koincidencií spúšťacieho obvodu  $N_0$ :

$$\eta_e = 100 \frac{N}{N_0} \% . \quad (24)$$

Pre určenie  $\eta_t$  pre prípad vzduchovej náplne vypracovali Cranshaw a De Beer [21] nasledujúcu metódu.

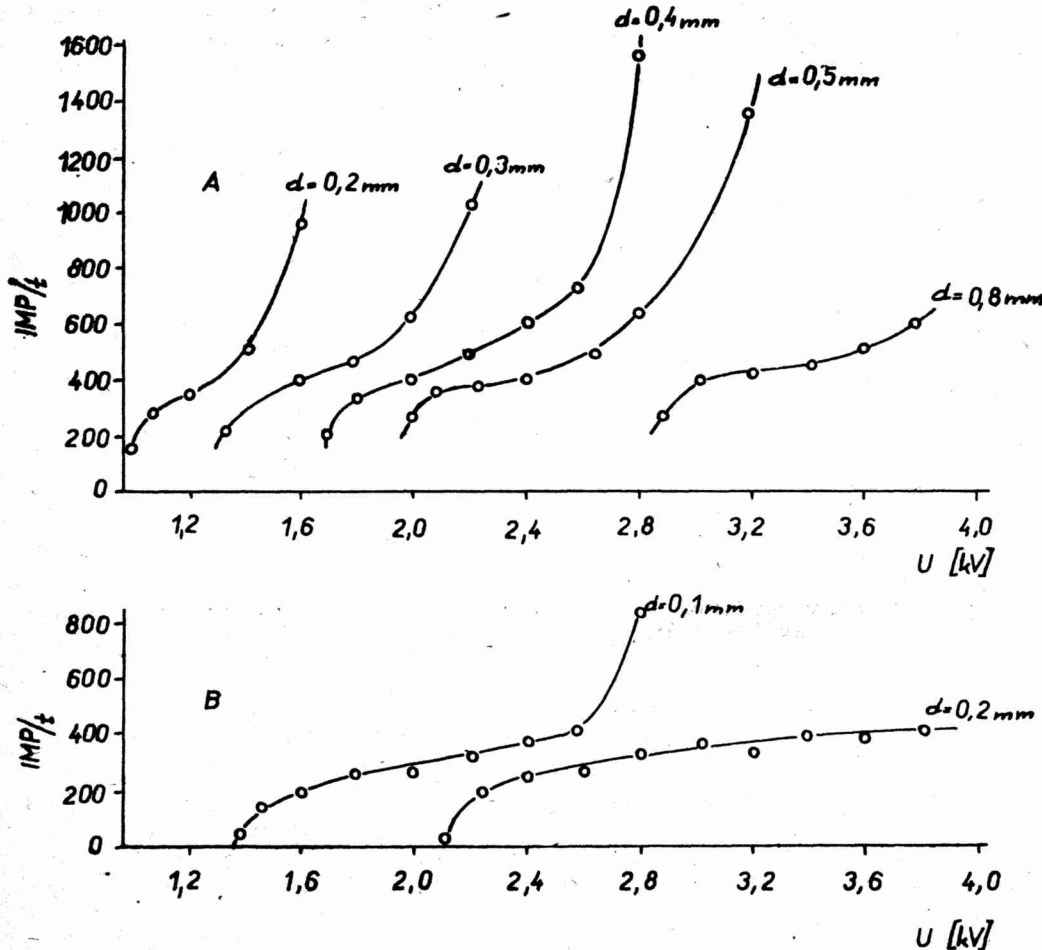
Predpokladajme, že v okamihu privedenia vysokonapäťového impulzu počet iónov dosahuje kritickú hodnotu, nevyhnutnú pre začatie iskrového výboja. V dôsledku silnej elektrónovej afinitu kyslíka všetky elektróny, hned po ich vytvorení sú zachytené. Ionizačný proces zapríčinuje preto vytváranie kladných iónov dusíka a rovnakého počtu záporných iónov kyslíka. Ak predpokladáme ďalej, že pohyblivosť

kladných a záporných iónov je rovnaká, potom ich rýchlosť musí byť úmerná  $U_\varepsilon$ :

$$v = kU_\varepsilon, \quad (25)$$

v ďalšom Cranshaw a De Beer rozlišujú dva prípady

1. ióny hociktorej polarity môžu zapríčiniť iskrový výboj
2. ióny len jednej polarity môžu zapríčiniť iskrový výboj.



Obr. 15. Závislosť napäťovej charakteristiky iskrového počítáča s rovinanými elektródami od vzdialnosti elektród. A—p (alkohol) = 600 mm Hg, B—p (alkohol) = 400 mm Hg, tlak argonu niekoľko atm [8].

Za predpokladu, že vzdialenosť  $v \cdot t$ , ktorú v 1. prípade prejdú ióny hociktorej polarity za čas  $t$ , bude  $> d/2$ , bude medzi elektródami existovať taký priestor  $x$ , že po čase  $t$  nebude sa v ňom nachádzať žiadny ión (obr. 17A). V prvom prípade

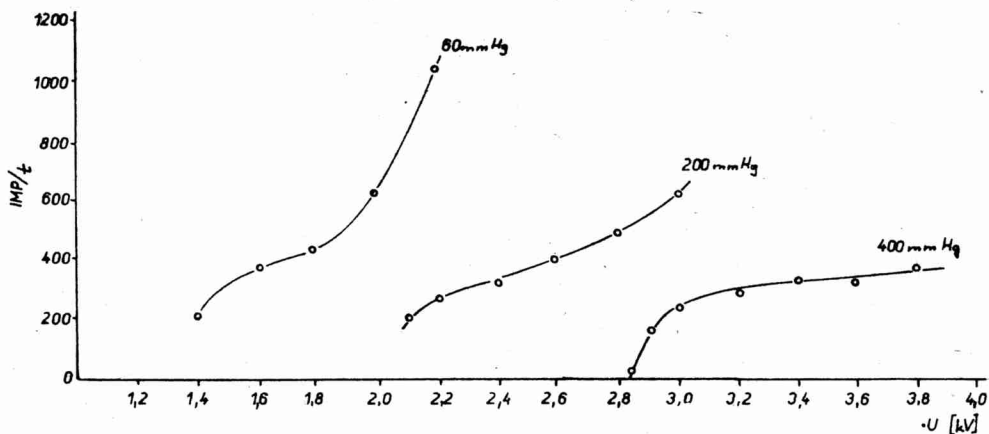
$$\begin{aligned} x &= 2v \cdot t - d && \text{pre } vt > d/2, \\ x &= 0 && \text{pre } vt \leq d/2, \end{aligned} \quad (26)$$

z čoho pre citlivý priestor  $S$  dostaneme vzťah

$$\begin{aligned} s &= d - x = 2(d - vt) \quad \text{pre } vt > d/2, \\ s &= d - 0 = d \quad \text{pre } vt \leq d/2. \end{aligned} \quad (27)$$

V druhom prípade

$$\begin{aligned} x &= vt, \\ s &= d - x = d - vt, \end{aligned} \quad (28)$$



Obr. 16. Závislosť napäťovej charakteristiky iskrového počítača s rovinnými elektródami, plneného argónom o tlaku niekoľko atm., od parciálneho tlaku alkoholovej prímesy [8].

z čoho v prvom prípade

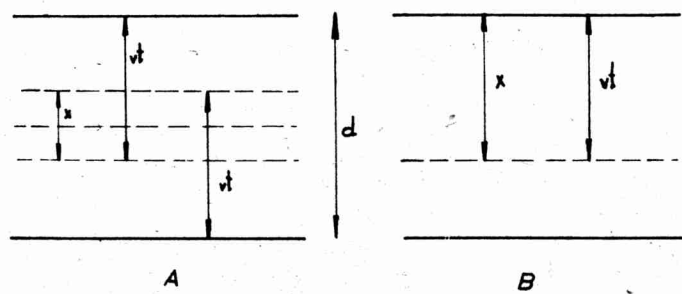
$$\begin{aligned} \eta_t &= 100[1 - e^{-2\varrho(d-vt)}] \% \quad \text{pre } vt > d/2, \\ &= 100[1 - e^{-\varrho d}] \% \quad \text{pre } vt \leq d/2. \end{aligned} \quad (29)$$

v druhom prípade

$$\eta_t = 100[1 - e^{-\varrho(d-vt)}] \% \quad (30)$$

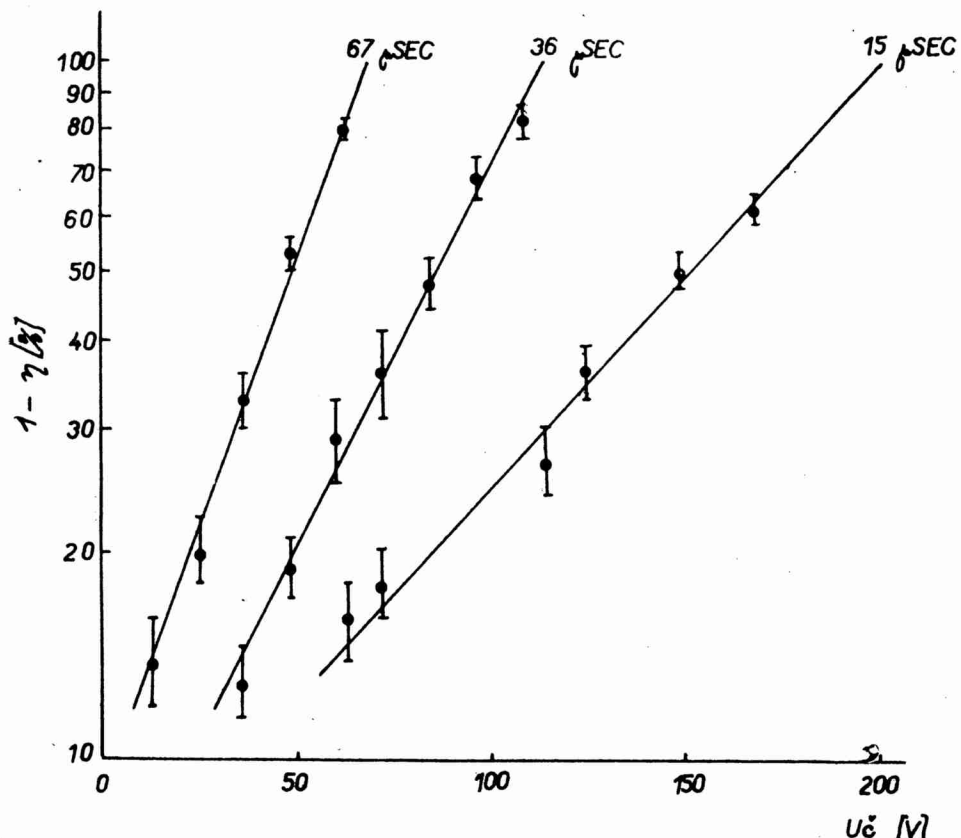
Pre prípad vzduchu  $\varrho = 22$  iónových párov na centimeter, z čoho pre  $d = 1$  m výšla maximálna teoretická účinnosť  $\eta_t = 90\%$  v oboch prípadoch.

*Vplyv amplitúdy, tvaru a dĺžky vysokonapäťového impulzu na účinnosť iskrových komôr.* O vplyve amplitúdy vysokonapäťového impulzu na účinnosť platí to, čo



Obr. 17.

platí o veľkosti použitého prepäťia u iskrových počítačov. Dĺžka vysokonapäťového impulzu, ako sa dá aj predpokladať, za normálnych okolností nemá vplyv na účinnosť iskrových komôr. Pri príliš veľkej dĺžke zvýši sa však absolútny počet nepravých prierazov, čo je ale spôsobené predĺžením doby citlivosti iskrovej komory. V prípade, že dĺžka impulzu je kratšia než  $T_{IV}$ , v danom prípade dochádza k rýchlemu poklesu účinnosti [25].



Obr. 18. Závislosť neúčinnosti  $1 - \eta$  od použitého čistiaceho napätia pri oneskorení vysokonapäťového impulzu 67, 36, 15  $\mu$ sec a amplitúde 7,2 kV [21].

Za prítomnosti čistiaceho napäťia oneskorenie vysokonapäťového impulzu značne vplyva na účinnosť, ako to vyplýva aj z obr. 18. Podobne strmosť nábehovej hrany vysokonapäťového impulzu má veľký vplyv na účinnosť. Čistiaci účinok impulzu sa prejavuje dovtedy, kým jeho amplitúda nedosiahne hodnotu, pri ktorej dochádza k vytváraniu elektrónových lavín. Strmosť nábehovej hrany závisí od veľkosti odporu, zapojeného do súradnice s iskrovou komorou, t. j. od odporu vybíjacieho obvodu a jeho parazitnej kapacity.

*Vplyv čistiaceho napäťia.* Je jasné, že pre dané oneskorenie impulzu bude účinnosť závisieť od veľkosti čistiaceho napäťia. Ako vidno z obr. 18, účinnosť klesá rýchlejšie s čistiacim napäťím pri väčších oneskoreniach vysokonapäťového impulzu. Účinnosť

má rôznu hodnotu podľa polarity čistiaceho napäťia vzhľadom na polaritu impulzu. Ako sa zistilo, [21] pre čistenie pracovného priestoru od iónov je možné využiť čistiace napätie hociktoľ polaritu vzhľadom na čistiaci účinok vysokonapäťového impulzu. Pre danú strmosť impulzu, tento čistiaci účinok je nezávislý od čistiaceho napäťia a možno ho vyjadriť konštantou  $C$ . Ak čistiace napätie má rovnakú polaritu ako vysokonapäťový impulz, konštantu  $C$  sa pripočíta k  $vt$  a výraz pre účinnosť môžeme vyjadriť takto

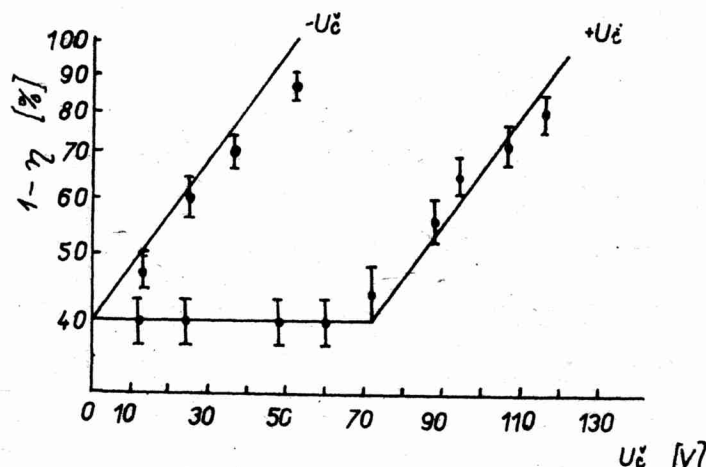
$$\eta = 100[1 - e^{-e(d-vt-C)}] \% \quad (31)$$

Ak polarita čistiaceho napäťia je opačná vzhľadom na polaritu impulzu, čistiaci účinok ostane rovný konštante  $C$  dovtedy, kým  $vt < C$  a bude rovné  $vt$  ak  $vt \geq C$ .

V tomto prípade  $\eta = 100[1 - e^{-e(d-c)}] \% \quad \text{pre } vt < C,$   
 $= 100[1 - e^{-e(d-vt)}] \% \quad \text{pre } vt \geq C. \quad (32)$

Ak  $v = 0$  (t. j.  $U_\epsilon = 0$ ), rovnice (31) a (32) dávajú rovnakú hodnotu pre maximálnu účinnosť

$$\eta_{\max} = 100[1 - e^{-e(d-c)}] \% \quad (33)$$



Obr. 19. Závislosť neúčinnosti  $1 - \eta$  od veľkosti čistiaceho napäťia a jeho polarity vzhľadom na polaritu vysokonapäťového impulzu. Oneskorenie impulzu je  $34 \mu\text{sec}$ . jeho amplitúda  $7 \text{kV}$  [21].

Experimentálne zistená závislosť účinnosti od čistiaceho napäťia a jeho polarity určená v [21] je uvedená na obr. 19. Z uvedenej závislosti vychádza  $\eta_{\max} \approx 60 \%$ , čo znamená, že  $C \approx 0,058 \text{ cm}$ . Vypočítané priamky na obr. 19, pre ktoré bola vzatá uvedená hodnota  $C$ , a  $k = 24 \text{ cm/sec. V}$ , pomerne dobre sa zhodujú s nameranými hodnotami.

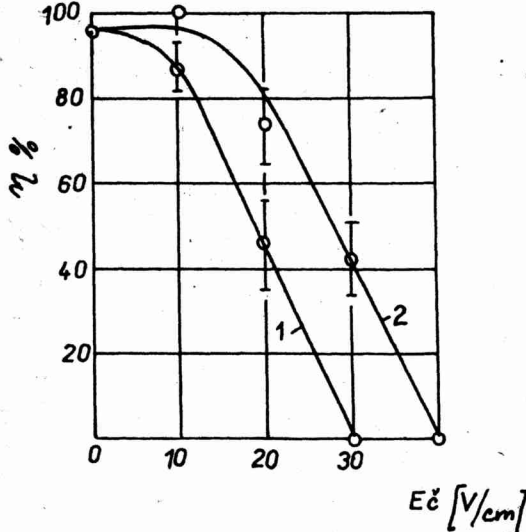
Vplyv čistiaceho poľa  $E_\epsilon$  na účinnosť iskrových komôr vyšetrovali aj Borisov a spolupracovníci [25]. Výsledok experimentálneho vyšetrovania znázorňuje obr. 20. Z uvedených závislostí je možné určiť tú časť vzdialenosť elektród  $d_{ef}$ , z ktorej nábehová hrana impulzu už neodsaje elektróny na elektródy. Po časovom intervale  $T_{VNI}$  je  $\eta = 0$ , ak

$$\begin{aligned} d_- + d_{VNI} &= d, \\ d_+ &= d, \end{aligned} \quad (34)$$

kde  $d_{VNI}$  je tá časť  $d$ , z ktorej nábehová hrana impulzu odsaje elektróny,  $d_-$  a  $d_+$  sú tie časti  $d$ , z ktorých odsaje elektróny čistiace pole  $E_\epsilon$ , príslušnej polarity za dobu  $T_{VNI}$ :

$$\begin{aligned} d_- &= k_1 E^- T_{VNI}, \\ d_+ &= k_2 E_+^+ T_{VNI}, \end{aligned} \quad (35)$$

kde  $k_1$  a  $k_2$  sú pohyblivosti elektrónov v poliach  $E_\epsilon^-$  a  $E_\epsilon^+$ . Pretože  $k_1 \approx k_2$ , dostaneme



Obr. 20. Závislosť účinnosti iskrovej komory od veľkosti a polarity čistiaceho poľa. Krivka 1 zodpovedá súhlasnej polarite čistiaceho poľa a vysokonapäťového impulzu, krivka 2 opačnej polarite. Oneskorenie impulzu je  $0,7 \mu\text{sec}$ , jeho dĺžka  $0,1 \mu\text{sec}$  a amplitúda  $14 \text{ kV/cm}$ ;  $p = 0,5 \text{ atm}$  [25].

šeniu počtu nepravých impulzov. V spomínamej práci 1–3 % v závislosti od použitého  $U_\epsilon$ .

*Vplyv plynnovej náplne a prímesí.* U vzduchom plnených iskrových počítačov a iskrových komôr  $\eta$  ukazuje závislosť od koncentrácie záporných iónov. Je to zrejmé aj z nasledujúcich úvah. Väzbová energia elektrónu v kyslíkovej molekule je len  $0,34 \text{ eV}$  a pri hodnote  $E/p = 90 \text{ V/mm Hg}$  môže sa oddeliť a získať energiu, potrebnú na začatie elektrónovej laviny. Masívnejšie kladné ióny nemôžu získať medzi dvoma zrážkami energiu, potrebnú pre ionizáciu. Z uvedených príčin obsah vodných párov vo vzduchu u vzduchom plnených iskrových počítačov a iskrových komôr vedie k zlepšeniu účinnosti.

Účinok organických prímesí je tiež podstatný. Pri parciálnom tlaku alkoholu  $60 \text{ mm Hg}$  mal počítač veľmi veľký sklon plateau (obr. 16) [8]. Zrejme ide o zvýšenie počtu nepravých impulzov vyvolaných ultrafialovým žiarením, ktoré je len slabo absorbované organickými parami. Pri parciálnom tlaku alkoholu  $400 \text{ mm Hg}$  došlo už k podstatnému zlepšeniu pracovnej charakteristiky, t. j. k značnému zmenšeniu sklonu plateau, k jeho predĺženiu a posunu k vyšším napätiám. Ako vidno

$$d_{VNI} = d \left( 1 - \frac{E_\epsilon^-}{E_\epsilon^+} \right) \quad (36)$$

$$d_{ef} = d - d_{VNI}. \quad (37)$$

Za predpokladu, že amplitúda impulzu je dostatočná na to, aby každý voľný elektrón nachádzajúci sa medzi elektródamiami mohol zapríčiniť iskrový výboj, dostaneme pre  $\eta_{IK}$  výraz

$$\eta_{IK} = 100 [1 - e^{-p \cdot d_{ef} \cdot e}] \%, \quad (38)$$

kde  $p$  je tlak plynu v atm. V uvedenej práci, pre minimálnu ionizáciu kozmickými lúčmi v argóne, pri normálnych podmienkach bola vzatá hodnota  $\varrho = 29,4 \text{ iónov/cm}^3$ . Z obr. 20 vychádza pri daných podmienkach  $E_\epsilon^- = 30 \text{ V/cm}$  a  $E_\epsilon^+ = 40 \text{ V/cm}$ , z čoho  $d_{VNI} = 0,25d$ , teda  $d_{ef} = d - d_{VNI} = 0,75d$ . Pri  $p = 0,5 \text{ atm}$  a  $d = 10 \text{ mm}$ , je  $\eta_{IK} = 99,99 \%$ .

Počet nepravých impulzov, ako zistil Dajon a spolupracovníci [22], je možné tiež zmenšiť použitím čistiaceho napäťia.

Zvýšením napäťia  $U_\epsilon$  dochádza k zmen-

aj z obrázku, zmenou parciálneho tlaku alkoholu o 200 mm Hg, posunulo sa prahové napätie o 700 V.

Aby nedochádzalo k zmene účinnosti, je nutné sa vyhnúť pri konštrukcii organickým materiálom. Použitie gumového tesnenia a obalu z organického skla viedie po niekoľkých sto impulzoch k značnému zníženiu účinnosti pri  $T_{VN}$  niekoľko  $\mu$ sec [26]. Pri neprítomnosti organických prímesí v plynovej náplni nedochádzalo k zmene účinnosti.

Podrobnejšie vyšetrovanie pracovnej charakteristiky iskových počítačov s rovinnými elektródami uskutočnil Babakin a spolupracovníci [8]. Zvýšením vzdialenosťi  $d$  od 0,2 mm do 0,8 mm sa podstatne zmenší sklon plateau a jeho dĺžka sa zväčšila. Súčasne sa posunula pracovná oblasť k vyšším napätiám (obr. 15).

V prípade, že celkový tlak plynovej náplne je dostatočne veľký, alebo ak sa zvýší o potrebnú hodnotu, zmenou vzdialenosťi elektród, nedochádza k zmene účinnosti.

Materiál katódy nemá badateľnejší vplyv na účinnosť [10]. V prípade, že niektorá z elektród (prípadne obe elektródy) sú oddelené od výbojového priestoru izolátorom, napr. tenkou sklenou doskou, prahové napätie sa posunie k vyšším hodnotám, keďže izolátor pôsobí ako kapacitný delič napäcia.

## VII. Izolátor medzi elektródami

Fletcher [12] a Dickey [11] urobili zaujímavý experiment. Umiestili medzi elektródy do iskového výbojového priestoru izolátor. Podľa očakávania izolátor zabránil iskovému výboju úplne sa rozvinúť; po počiatočnom rýchлом poklese napäcia dochádzalo k jeho pozvolnému narastaniu na pôvodnú hodnotu. Rovnaké výsledky sa dosiahli v obidvoch prípadoch, s izolátorom umiesteným na anóde alebo na katóde. Počiatočný skok napäcia bol rovnaký pre prípad elektród bez izolátora, ako aj s izolátorom (obr. 21).

Ked' niektorá elektróda je zakrytá izolátorom, výbojový priestor v náhradnej schéme môžeme považovať za dva výbojové priestory, zapojené do série, s možnosťou prierezu iba v jednom z nich (obr. 22).

Ak povrch elektród je ekvipotenciálnou hladinou, príslušnú diferenciálnu rovnicu môžeme vyjadriť nasledovne

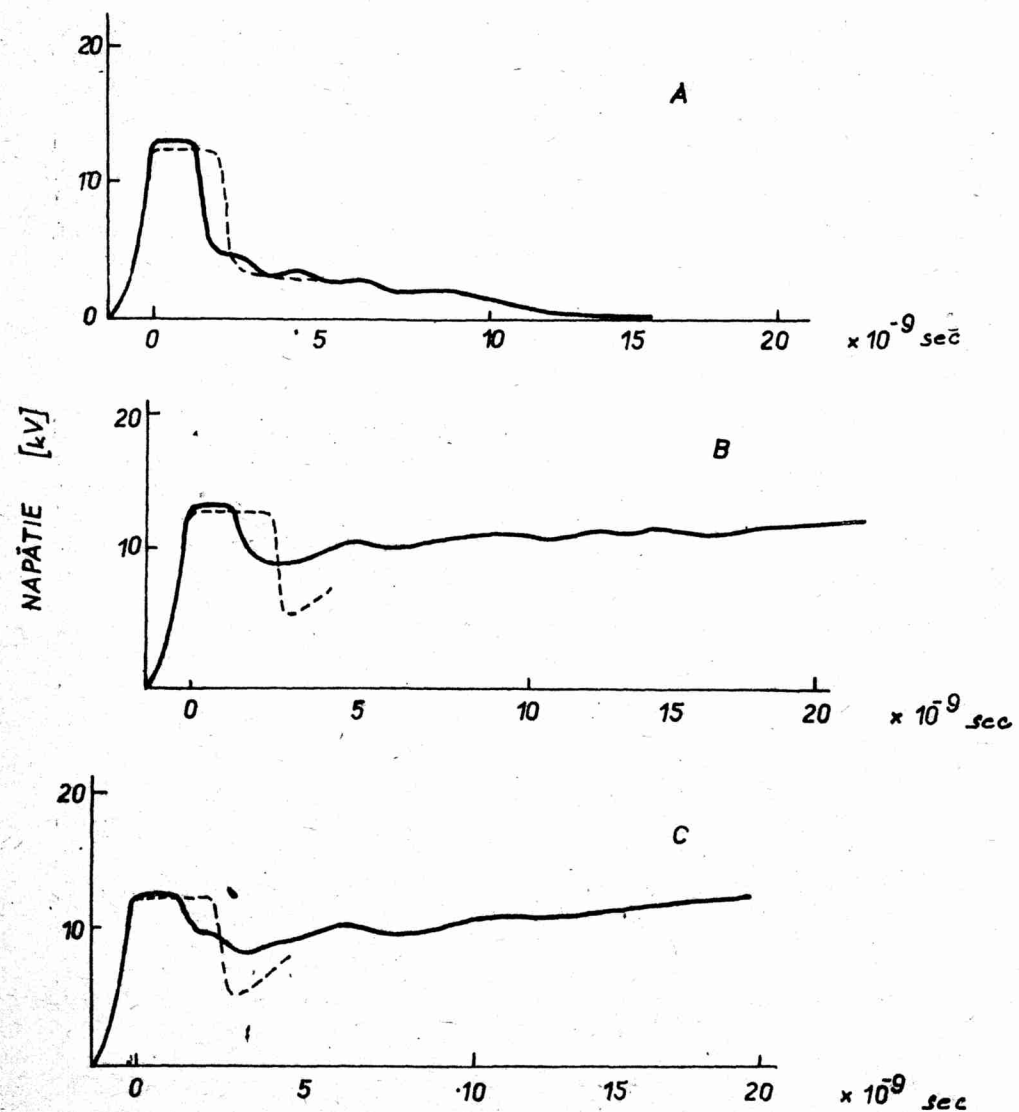
$$C_2 \frac{dU_{VN}}{dt} = -\frac{evN_0}{d_2} e^{\int \alpha v dt} + \left( \frac{C_1 + C_2}{C_1} \right) \cdot \left( \frac{U_{VN} - U'_{VN}}{R} \right) \quad (39)$$

kde  $C_1$  je kapacita izolátora,  $C_2$  kapacita zbývajúcej medzery medzi elektródami  $d_2$ ,  $\alpha$  a  $v$  sú určené intenzitou pola  $E$  na  $d_2$ , ktorá v tomto prípade sa rovná

$$E = \frac{1}{d_2} \left[ U'_{VN} - \frac{C_2}{C_1 + C_2} U_{VN} - \frac{1}{C_1} \int_0^t \frac{U_{VN} - U'_{VN}}{R} dt \right] \quad (40)$$

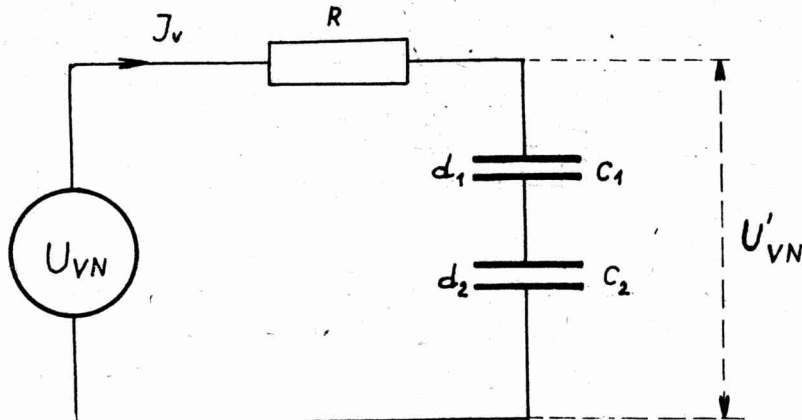
Vypočítané hodnoty sú vyznačené čiarkované na obr. 22. Ako vidno podľa výpočtov, napäťový skok by mal byť väčší. Zrejme predpoklad o ekvipotenciálnosti povrchu izolátora nie je dosť dobre splnený. Podľa Dickeya rovnice (39) a (40) by boli lepšie splnené, keby sa naniesla tenká vodivá vrstva na povrch izolátora, ktorá by však nebola spojená s elektródami.

Nápad Fletchera použili Fischer a Zorn [10], ktorí vytvorili iskrovú komoru, v ktorej pokryli buď jednu, alebo obe elektródy tenkou sklenou platničkou. Počia-točný prúd cez iskrovú komoru bol daný iba jej vlastnou kapacitou. K zmene onesko-renia iskrového výboja nedošlo. Pri konci výboja nastane spätný výboj, keďže výsledný efektívny prúd je nulový. Povrch elektród ostane po výboji pravdepodobne bez väčšieho povrchového náboja. Počas výboja vznikala žiara okolo výboja, blízko



Obr. 21. Experimentálny a teoretický (čiarkovaný) pribeh napäťového impulzu na elektródach za prítomnosti izolátora medzi elektródami. A — prípad bez izolátora ( $d = 1,52$  mm). B — prípad izolátora na katóde ( $d = 1,74$  mm). C — prípad izolátora na anóde ( $d = 1,74$  mm).

izolátora, čo bolo vyvolané pravdepodobne účinkom priestorového náboja na povrch izolátora. Tento jav sa dá však potlačiť, ak sa na povrch izolátora nanesie tenká vodivá vrstva, ktorá nie je spojená s vonkajšími vodivými elektródami.



Obr. 22. Náhradný obvod iskrového výbojového priestoru s izolátorom medzi elektródami.

### VIII. Iskrové výbojové komory

Fukui a Miyamoto [33] zaujímavým spôsobom použili iskrový počítač s rovinými elektródami, spúštaný vysokonapäťovým impulzom. Ionizujúce častice nechali prechádzať medzi elektródami rovnobežne s rovinou elektród (obr. 23). Zistili, že aj v tomto prípade dochádza k iskrovým výbojom. Výboj sleduje stopu častice vo forme iskrových výbojov, vzdialených od seba na niekoľko milimetrov.

Borisov a spolupracovníci [25] sledovali hustotu výbojov po dráhe častic funkciu amplitúdy vysokonapäťového impulzu. S rastom amplitúdy počet iskrových výbojov pripadajúcich na 1 cm sa zmenšuje, ale zväčšuje sa svietivosť jednotlivých výbojov. Veľmi hustý sled výbojov nastane, ak amplitúda vysokonapäťového impulzu je v blízkosti prahového napätia. Hustota výbojov je taká veľká, že pripomína stopy častic vo Wilsonovej komore. Táto oblasť bola široká až 1 kV.

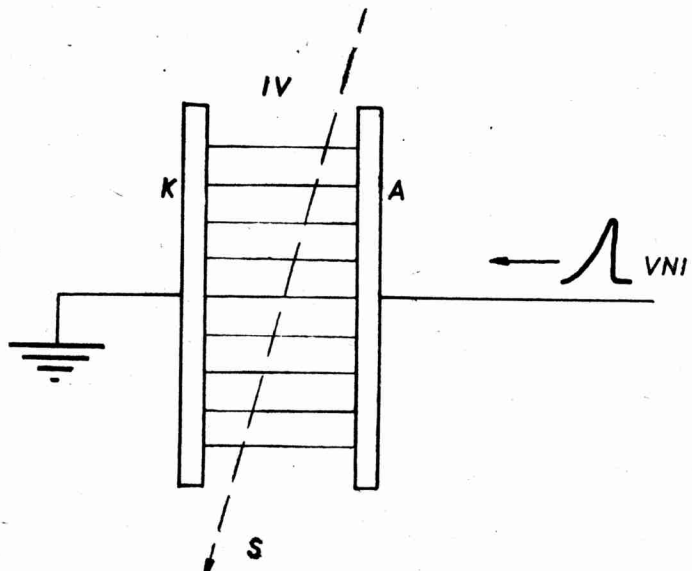
V prípade, že vodivé elektródy boli oddelené od výbojového priestoru sklenými elektródami (hrúbky 1,7 mm), rozšírila sa táto oblasť na 4 kW.

Vzhľadom na pomerne malú svietivosť iskier, nepodařilo sa autorom vyhotoviť fotografické snímky, i keď výboje bolo možné v tmavej miestnosti vizuálne pozorovať. Problém fotografovania vyriešili tým, že okrem základného vysokonapäťového impulzu priviedli po čase  $t \leq 12 \mu\text{sec}$  ďalší, dlhší impulz s menšou amplitúdou, čím došlo k dostatočnému zvýšeniu svietivosti výbojov. Charakter výbojov sa však tiež podstatne zmenil. Namesto veľkého počtu slabo svietiacich iskier vznikol malý počet jasne svietiacich iskier. Nie je však ani to vylúčené, že slabé výboje ostanú tiež zachované, ale popri jasne svietiacich iskrach ich nevidno.

Zdá sa, že u iskrových výbojových komôr, charakter (počet) iskrových výbojov závisí od ionizačnej schopnosti častic. Ak by ďalšie experimenty ukázali reprodukovateľnú závislosť počtu iskrových výbojov od ionizačnej schopnosti sledovaných

častíc, bolo by možné rozšíriť počet sledovaných vlastností častíc iskrovým výbojom a ich ionizačnú schopnosť.

Iskrové výbojové komory na rozdiel od iskrových komôr dovolujú sledovať aj dráhy slaboenergetických častíc. Nevýhodou iskrových výbojových komôr je veľká



Obr. 23. Základná schéma iskrovej výbojovej komory. A — anóda, K — katóda, IV — iskrové výboje, VNI — vysokonapäťový impulz, S — stopa častice.

neurčitosť tretej súradnice stopy častice (súradnice vo smere normál k elektródam), ktorá je ohraničená iba vzdialenosťou elektród. Kombináciou s iskrovou komorou by sa však tento nedostatok dal odstrániť.

#### IX. Fotografická metóda registrácie stopy ionizujúcich častíc

Na vizuálne sledovanie stopy ionizujúcich častíc bolo v posledných rokoch vyvinuté niekoľko typov zariadení, založených na vzniku výboja v plynach s dostatočným svetelným výťažkom vo viditeľnej oblasti spektra.

1. Sú to hodoskopy [27 – 31], u ktorých stredná kvadratická chyba určenia stopy častice je okolo 1,8 mm pri priemere trubíc 6 mm.

2. Iskrové komory a impulzné iskrové počítače.

3. Iskrové výbojové komory prvýkrát použité Fukuim a Miyamotoom [33, 34].

U iskrových komôr, iskrových výbojových komôr a impulzných iskrových počítačov stredná kvadratická chyba pri určení stopy častice je približne o jeden rád menšia ako u hodoskopov. Thompson a Wolfendale [35] dosiahli strednú kvadratickú chybu 0,38 mm; Dajon, Volynskij a spolupracovníci [22, 17] ~0,22 mm. *Uhlové merania stôp ionizujúcich častíc u iskrových komôr sa dajú robiť s presnosťou lepšou ako 1°. Predpokladá sa [18], že pri menších vzdialostiach elektród by sa táto presnosť dala ešte zlepšiť.*

Iskrové počítače a iskrové komory dovoľujú použiť fotografickú metódu registrácie stopy detekovaných častíc, vďaka veľkému svetelnému impulzu iskrového výboja a jeho lokalizácii na stopu častice. Pri vhodných podmienkach je možné zaregistrovať dráhu viac častíc súčasne. Rozoberme podrobnejšie uvedené problémy súvisiace s fotografickou metódou registrácie.

*Lokalizácia iskrového výboja na stopu detektovanej častice.* Miesto vzniku iskrového výboja vykazuje štatistický rozptyl vzhľadom na stopu ionizujúcej častice, ktorá zapríčinila vznik iskrového výboja. V prípade vzduchom plnených iskrových komôr [35] tento rozptyl je ďaleko väčší, než by sa očakávalo od difúzie kyslíkových iónov, ktoré sú nositeľmi elektrónov schopných zapríčiniť iskrový výboj. Väčšie rozloženie bude spôsobené pravdepodobne fotoelektrónmi, uvoľnenými z povrchu katódy fotónmi emitovanými malými lavínami, vytvorenými po stope ionizujúcej častice.

*Je pravdepodobné, že pri väčšej špecifickej ionizácii by došlo k zmenšeniu štatistického rozptylu iskrového výboja vzhľadom na stopu častice. K overeniu tohto predpokladu chýbajú však zatiaľ experimentálne údaje.*

S predlžovaním  $T_{VNI}$  dochádza k výraznejšej difúzii elektrónov, vytvorených ionizujúcou časticou kolmo na stopu častice, čo prispieva tiež k rozptylu iskrového výboja vzhľadom na stopu častice [20]. Čistiace pole neukazuje značnejší vplyv na štatistický rozptyl, čo naznačuje, že toto pole nezapríčinuje podstatnejšie zväčšenie postrannej difúzie elektrónov. V blízkosti stopy ionizujúcej častice sa môžu vyskytnúť  $\delta$ -elektróny. Iskrový výboj v určitom počte prípadov sa môže rozvinúť po stope  $\delta$ -elektrónu a nie po stope pôvodnej častice [35].

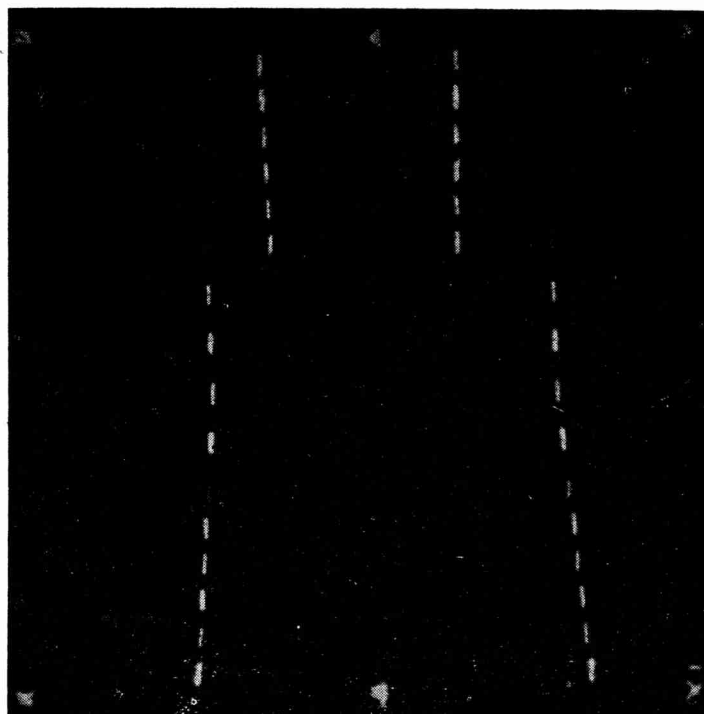
V prípade vzduchovej náplne iskrovej komory sa niekedy objavili dve iskry vedľa seba, medzi tými istými elektródami. Jedna z nich bola vždy posunutá oproti stope častice o 1 – 2 mm. Tieto satelitné iskry sú pripisované tiež  $\delta$ -elektrónom [21].

Na fotografických snímkach môžeme vidieť aj iskrové výboje pochádzajúce od nepravých prierazov, zapríčinených nehomogenitami poľa, okrajovým efektom, metastabilnými atómami a pod. V prípade iskrových komôr sú však ľahko rozoznateľné, lebo sa vyskytujú nepravidelne a netvoria súvislú stopu cez všetky medzery medzi elektródami, ako je tomu v prípade ionizujúcich častíc, prechádzajúcich cez celú iskrovú komoru.

*Detekcia viac častíc súčasne.* Oneskorenie vysokonapäťového impulzu je vo väčšine prípadov  $\sim 10^{-7}$  sec. Za túto dobu môže dôjsť k prechodu ďalších ionizujúcich častíc cez iskrovú komoru. Čistiace pole počas oneskorenia vysokonapäťového impulzu odsaje najviac elektrónov zo stopy prvej častice, ktorá vyvolala koincidenčiu. V okamihu objavenia sa impulzu na elektródoch iskrovej komory najväčšia koncentrácia elektrónov bude na stope tej častice, ktorá prešla najneskôr cez komoru, v extrémnom prípade v okamihu objavenia sa impulzu na komore. Takto sa môžu objaviť dve alebo viac stôp po privedení impulzu.

Môže však nastať aj ten prípad, že novšia stopa absorbuje celú energiu impulzu a pôvodná stopa sa vôbec neobjaví. Na obr. 24 je znázornený prípad, keď novšia stopa úplne „pohltila“ pôvodnú stopu. Nedochádza však vždy k úplnému pohltieniu pôvodnej stopy. Niekedy popri jasnej stope novšej častice je vidno slabšiu stopu pôvodnej častice. Intenzita tejto stopy býva však niekedy veľmi slabá, na fotografickej snímke sa vôbec neobjaví, iba voľným okom je pozorovateľná. Je to pravdepodobne vysvetlenie aj pre slabé iskrové výboje pozorované popri jasných iskrových výbojoch Volynskim, Dajonom a Ponosovom [17].

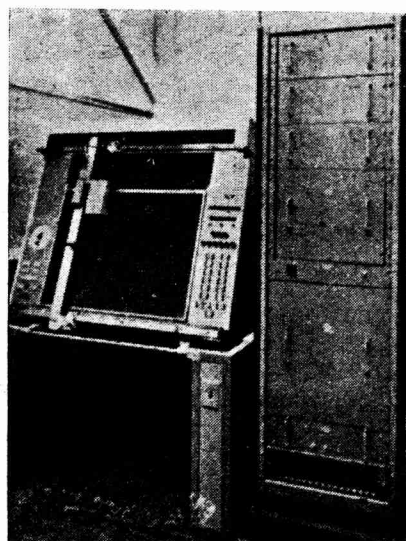
Ak dochádza k prechodu viac častíc cez iskrovú komoru súčasne, alebo pri interakcii dopadajúcej častice s hmotou elektród, alebo absorbátorov v iskrovej



Obr. 24. Stereo-snímka prípadu úplného „pohľtenia“ staršej stopy, stopou častice, ktorá prešla cez iskrovú komoru neskôr [18].

komore vzniká viac čästíc súčasne, potom za predpokladu, že ich ionizačné schopnosti nie sú príliš rozdielne, pravdepodobnosť vzniku iskrového výboja bude rovnaká pre všetky čästice. Takéto čästice budú zaregistrované s rovnakou účinnosťou, a teda na fotografickej snímke ich stopy budú rovnaké. Toto umožňuje súčasne pozorovať aj prípad súčasného „vzniku“ čästíc od prípadu ich postupného prechodu cez iskrovú komoru. U vzduchom plnených iskrových komôr nie je možné sledovať stopu viac čästíc súčasne. Tam dochádza k absorpcii celej energie impulzu jedinou stopou.

*Svetelnosť iskrového výboja.* Z hľadiska citlivosti filmov a pomerne veľkej vzdialenosťi fotografického zariadenia od komory (najmä pri veľkých rozmeroch elektród)



Obr. 25. Fotografická snímka zariadenia na využitie snímok z iskrových komôr. Na obr. ľavo je vlastné meracie a kontrolné zariadenie, vpravo elektronická časť zariadenia.

a krátkeho trvania iskrového výboja je v niektorých prípadoch, predovšetkým u iskrových výbojových komôr nutné prihliadať aj na svetelný výtažok. Svetelný výtažok iskier závisí od viacerých faktorov, ale najmä od intenzity a trvania výbojového prúdu, použitého napätia a plynovej náplne [36]. Ukazuje sa [25, 18], že organické prímesi vo vzácnych plynoch značne zvýšia svetelnosť. Pridanie alkoholu do Ar a He viedlo k značnému zvýšeniu svetelnosti. Podobne pridanie malého množstva Ar do Ne zvýšilo účinnosť ionizácie. Vyhodnocovanie snímok z iskrových komôr



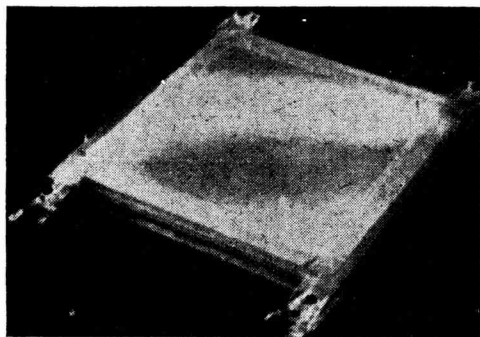
Obr. 26. Fotografická snímka z iskrovej komory, zhotovená pracovníkmi Argonne National Laboratory v CERNu, na ktorej je zachytený vznik a rozpad hyperónu.

je obdobné ako snímok z bublinových komôr. Po menších úpravách sa dajú použiť automatické zariadenia, používané na vyhodnocovanie snímok z bublinových komôr. Je však výhodnejšie použiť zariadenie postavené priamo na spracovanie snímok z iskrových komôr. Takéto zariadenie postavili napríklad v Argone National Laboratory [39]. Na tomto zariadení, znázornenom na obr. 25, sa robí projekcia, počítanie a záznam stôp častíc. Okolo 100 iskrových výbojov sa premeria za 70 sec. v plynulom sledu, teda asi 1,5 iskier za sekundu. Na záznam polohy a formy rámu je potrebných 15 sec, na prehliadanie snímky 2 sec a na značkovanie stopy 2 sec.

Premeranie prípadu troch stôp, znázornených na obr. 26, boli potrebné 2 min., pre celú stereosnímku 4 min.

## X. Použitie iskových počítačov a iskových komôr

V posledných rokoch iskrová komora sa stáva jedným z najdôležitejších detekčných zariadení vo fyzike vysokých energií. Oproti iným druhom detektorov značne uľahčuje prácu v intenzívnom sväzku častíc. Jej veľkou výhodou je i to, že za určitých podmienok je možné sledovať stopu viac častíc súčasne. Meniteľnosť rozlišovacej schopnosti  $\chi_{IK}$  dovoľuje podľa povahy experimentu buď vylúčiť, alebo sledovať oneskorené častice.



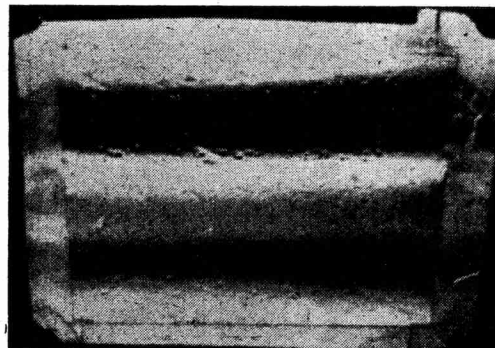
Obr. 27. Isková komora vyhotovená z hliníkovo-fóliovými elektródami, hrubými  $25\mu$  [10].

Ako ukázali Pontecorvo a Schwartz, zväzok neutrín, vytvorený na urýchlovači, musí vytvoriť za 24 hodín niekoľko interakcií s hmotou 10 ton. V experimente [40] uskutečnenom na Brookhavenkom

Rozmery elektród môžu dosiahnuť plochu až niekolkých  $m^2$ , s objemom tiež viac  $m^3$ , čo oproti iným detektorom neobvyčajne zvyšuje efektívnosť registrácie. To má mimoriadny význam pri veľmi vzácných dejoch, napr. pri experimentoch s neutrínovými lúčmi. V súčasnosti sú iskové komory vôbec najvhodnejším zariadením na detekciu neutrín. Isková komora bola použitá napríklad pri experimentálnom dôkaze existencie dvoch rôznych vidov neutrín ( $v_e$  a  $v_\mu$ ).

urýchlovači (30 BeV) zväzok neutrín sa získal rozpadom  $\pi$ -mezónov, získa- ných bombardovaním berýlievho terčíka s protónmi o energii 15 BeV. Čas- tice dopadali na železnú stenu, hrubú 13,5 m vo vzdialosti 21 m od terčíka. Prípady interakcie neutrín s hmotou sa sledovali v iskrovej komore s hliníkovými elektródami o celkovej váhe 10 000 kg. Počas experimentu bolo za- registrovaných 113 prípadov interakcie neutrín s hmotou.

Podľa povahy experimentu tvar elektród možno zvoliť ľubovoľne, za predpokladu, že homogenita poľa medzi elektródami je narušená v prípustných medziach. Napr. pri vyšetrovaní rozptylu  $K^-$ -mezónov na protónoch elek-



Obr. 28. Fóliová isková komora, poškodená iskrami a tlakovými vlnami iskových výbojov [10].

trôdy iskrovej komory boli vyrobené vo forme koncentrických valcov [37].

Veľmi dobrá uhlová rozlišovacia schopnosť iskových komôr dovoľuje ich použiť pri rôznych rozptylových meraniach, kde sa iskovými komorami dosahuje uhlové rozlíšenie lepšie než u iných druhov počítačov. Medzi najjednoduchšie experimenty s iskovou komorou patrí pružný rozptyl vysokoenergetických, nabitych častíc, ďalej rozptyl polarizovaných protónov napr. s grafitovými analyzátormi. Použitím iskrovej komory v magnetickom poli boli zmerané hybnosti častíc až do 100 BeV/c

[17, 22, 26]. Použitím absorbátorov iskové komory možno tiež s výhodou použiť na meranie dobehu nabitých častíc. Pre tieto účely sa hodia iskové komory s malými vzdialenosťami elektród. Pri vyšetrovaní rozsiahlejších spršok kozmického žiarenia sa tiež dajú s výhodou použiť iskové komory [21]. Podobne na sledovanie spektra  $\mu$ -mezónov z kozmického žiarenia boli s úspechom použité iskové počítače [26, 38, 39, 40].

V prípade, že sa elektródy iskových komôr vyhotovia z tenkých fólií, je možné ich použiť aj pri experimentoch vo fyzike nízkych energií. Jedna z takých iskových komôr je opísaná v [10], kde sa použili hliníkové fólie (obr. 27) hrúbky  $25\mu$ . Takéto fóliové elektródy sú však veľmi hálivé. Aj pri pomerne malom výkone vysokonapäťového impulzu dochádza k poškodeniu fólie pri preskoku iskry (obr. 28). Dokonca aj samotná expanzia plynu pri iskovom výboji viedie k deformáciám fólií.

#### Literatúra

- [1] J. H. Meek and J. D. Craggs: Electrical Breakdown of Gases, Oxford 1953
- [2] L. Leb: Osnovnye processy električeskikh razrjadov v gazach. Moskva=Leningrad 1950
- [3] N. A. Kapcov: Elektronika, Moskva 1953
- [4] L. Madansky, R. W. Pidd, Rev. Sci. Instr. 21, No 5, 407, 1950
- [5] J. W. Keuffel, Rev. Sci. Instr. 20, No 3, 202, 1949
- [6] E. Robinson, Proc. Phys. Soc., 66A, 79, 1953
- [7] R. W. Pidd and L. Madansky, Phys. Rev., 75, No 8, 1175, 1949
- [8] M. V. Babykin, A. G. Plachov, J. F. Skačkov, V. V. Šapkin, Atomnaja energija, No 4, 38, 1956
- [9] E. K. Zavodskij, G. E. Smolkina, Atomnaja energija, No 4, 46, 1956
- [10] J. Fischer and G. T. Zorn, Rev. Sci. Instr., 32, Num. 5, 499, 1961
- [11] F. B. Dickey, J. Appl. Phys. 23, 1336, 1952
- [12] R. C. Fletcher, Phys. Rev., 76, 1501, 1949
- [13] P. M. Davison, British J. Appl. Phys., 4, 170, 1953
- [14] E. K. Zavodskij, S. D. Fančenko, DAN – SSSR, 108, 218, 1956
- [15] L. I. Artemenkov, M. V. Babykin, Prib. Techn. Eksp., No. 5, 48, 1958
- [16] O. C. Alkofer, E. Bagge, P. G. Henning and L. Schmieder, Atomkernenergie, 2, 88, 1957
- [17] V. Ch. Volynskij, M. I. Dajon, A. K. Ponosov, Prib. techn. Eksp., No. 3, 155, 1961
- [18] A. Roberts, Rev. Sci. Instr., 32, Num. 5, 479, 1961
- [19] J. G. Rutherglen and J. M. Paterson, Rev. Sci. Instr., 32, Num. 5, 519, 1961
- [20] J. G. Rutherglen and J. M. Paterson, Rec. Sci. Instr., 32, Num. 5, 522, 1961
- [21] J. E. Cranshaw, J. F. De Beer, Nuovo Cimento, 5, 1107, 1957
- [22] M. I. Dajon, V. Ch. Volynskij, L. I. Potopov, Prib. Techn. Eksp., No. 2, 47, 1961
- [23] L. M. Lederman, Rev. Sci. Instr., 32, Num. 5, 523, 1961
- [24] O. C. Alkofer, Z. Physik, 158, 274, 1960
- [25] A. A. Borisov, B. A. Domošein, B. I. Lučkov, L. V. Rešetin, V. I. Ušakov, Prib. Techn. Eksp., No. 1, 49, 1962
- [26] V. A. Michajlov, N. N. Pojnišvili, G. E. Čikovani, Prib. Techn. Eksp., No. 1, 39, 1961
- [27] M. Conversi and A. Gozzini, Nuovo Cimento, 2, 189, 1955
- [28] M. Conversi, S. Focardi, C. Franzinetti, A. Gozzini and P. Murtas, Suppl. Nuovo Cimento, 4, 234, 1956
- [29] H. Coxell and A. W. Wolfendale, Proc. Phys. Soc., 75, 378, 1961
- [30] G. Barsanti, M. Conversi, S. Focardi, G. Murtas, G. Rubbia and G. Torelli: Proc. of CERN Symp., 2, 56, 1956
- [31] F. Ashton, S. Kisdnasamy and A. W. Wolfendale, Nuovo Cimento, 8, 615, 1958
- [32] M. Gardener, S. Kisdnasyny, E. Rössle and A. W. Wolfendale, Proc. Phys. Soc., B 70, 687, 1957
- [33] S. Fukui and S. Miyamoto, Nuovo Cimento 11, 113, 1959
- [34] S. Fukui and S. Miyamoto, Physical Institute Nagoya University Japan, preprint, 1959
- [35] M. G. Thompson and A. W. Wolfendale, Suppl. Nuovo Cimento, Vol. 23, Serie 10 Num. 1, 144, 1962
- [36] A. A. Ťjapkin, Proc. Intern. Conf. of High-Energy Instrumentation, Berkeley 1960

- [37] M. A. Wahlig, A. Buffington, D. H. Hill, L. Sodickson, *Rev. Sci. Instr.*, 33, N° 5, 539 (1962)  
[38] O. C. Allkofer, *Atomkernenergie*, 4, 389 (1959)  
[39] J. A. DeShong, *Rev. Sci. Instr.*, 33, 859 (1962)  
[40] G. Danby, J. M. Gaillard, K. Goulian, L. M. Lederman, N. B. Mistry, M. Schwartz, J. Steinberg

Adresa autora:  
Katedra jadrovej fyziky UK.  
Bratislava, Šmeralova 2A

Do redakcie dodané 15. V. 1963

### Искровые счетчики и искровые камеры с параллельными электродами

Ш. Шаро

#### Резюме

В обзоре показан принцип работы искровых счетчиков и искровых камер с параллельными электродами, подробно разобраны их свойства и возможности применения. Коротко приведена теория искрового разряда.

### The Parallel-Plate Spark Counters and Spark Chambers

By Š. Šáró

#### Abstract

In this summary article principle of work of the parallel—plate spark counter and spark chamber is described. They characteristics in detail are discussed and possibility their application is shown. For the completeness also theory of spark discharge is shortly described.

## Iskrový počítač alfa-častic

Š. ŠÁRÓ, M. HANUSKOVÁ

V článku sa uvádzajú výsledky experimentálneho vyšetrovania niektorých vlastností iskrového počítača s rovinou katódou a vláknovou anódou. Počítač bol skonštruovaný pre detekciu alfa-častic a pracoval na vzduchu pri atmosférickom tlaku. Pozadie počítača bolo prakticky nulové i za prítomnosti silných beta a gama žiaričov.

### Úvod

Využitie oblasti trvalého výboja na detekciu častic radioaktívneho žiarenia sa začína prácou Greinachera [1]. Táto práca, ako i niektoré ďalšie práce, zamierané na využitie iskrového výboja na detekciu častic nedosiahli však patričný ohlas a až v posledných rokoch sa pristúpilo k systematickému vyšetrovaniu vlastností iskrových počítačov a k ich praktickému využitiu pri detekcii častic. V súčasnosti existuje už niekoľko prác, v ktorých sa opisujú vlastnosti iskrových počítačov a možnosti ich použitia [2–8].

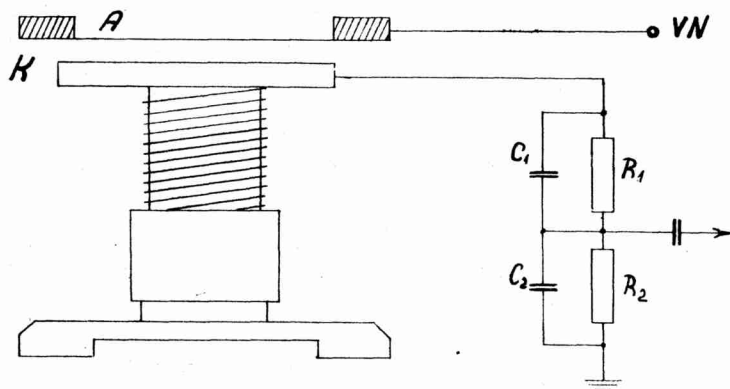
V tejto práci sa vyšetrovali vlastnosti iskrového detektora alfa-častic, pracujúceho na vzduchu pri atmosférickom tlaku. Ako sa ukazuje, v niektorých prípadoch má iskrový počítač určité výhody pred inými druhmi počítačov.

V prípade vyšetrovaného počítača geometrické usporiadanie elektród bolo také, že elektrické pole okolo elektród bolo silne nehomogénne. Navyše súčin p . d (p je tlak vzduchu v mm Hg . cm a d vzdialenosť elektród v cm) sa pohyboval medzi 100–250 mm Hg . cm.

Pri uvedených podmienkach sa dá predpokladať, že teoretické vyšetrovanie vlastností uvažovaného typu počítača by nevielalo k praktickým výsledkom. V uvedenej časti Townsendova teória iskrového výboja a podobne teória streamerov nedávajú uspokojivý súhlas s experimentálnymi výsledkami. V začiatocnej fáze tvorzenia výboja v počítači pritom rozhodujúcu úlohu hrá koronový výboj.

Alfa-častice, dopadajúce do priestoru medzi anódu a katódou, ionizáciou plynovej náplne uvolnia prvotné elektróny, ktoré vzhľadom na veľký gradient vonkajšieho elektrostatického pola, nárazovou ionizáciou spôsobujú vznik lavín. Nárazová ionizácia a fotoionizácia nakoniec vytvoria lavínu, ktorá prejde v streamer, vytvorí sa vodivý kanál, ktorým prejde iskrový výboj. Preskokom iskry vytvorí sa impulz na zhášacom odpore, pripojenom k počítaču, napätie na počítači sa zníži o spád

napäťa na odpore a výboj sa preruší, kym prelet ďalšej častice nespôsobí nový výboj. Okrem zaznamenávania impulzov dekadickým počítačom môžu sa jednotlivé častice počítať i fotografickým záznamom príslušných iskrových výbojov medzi elektródami počítača. Pri geometrickom usporiadaní elektród vlákno – rovina, citlivou oblasťou počítača je úzky pás na oboch stranach anódového vlákna. Spôsobené je to tým, že v prípade vláknovej anódy gradient poľa má značnú intenzitu len do malej vzdialenosť od vlákna. Podmienkou prerastania lavíny v streamer je, aby



Obr. 1.

intenzita elektrostatického poľa bola väčšia ako  $24 \text{ kV/cm}$ . Pre uvedený typ počítača vzdialenosť od vlákna, kde táto podmienka je splnená, siaha pri vzdialnosti elektród  $1,5 \text{ mm}$  približne do  $1/3$  vzdialosti elektród.

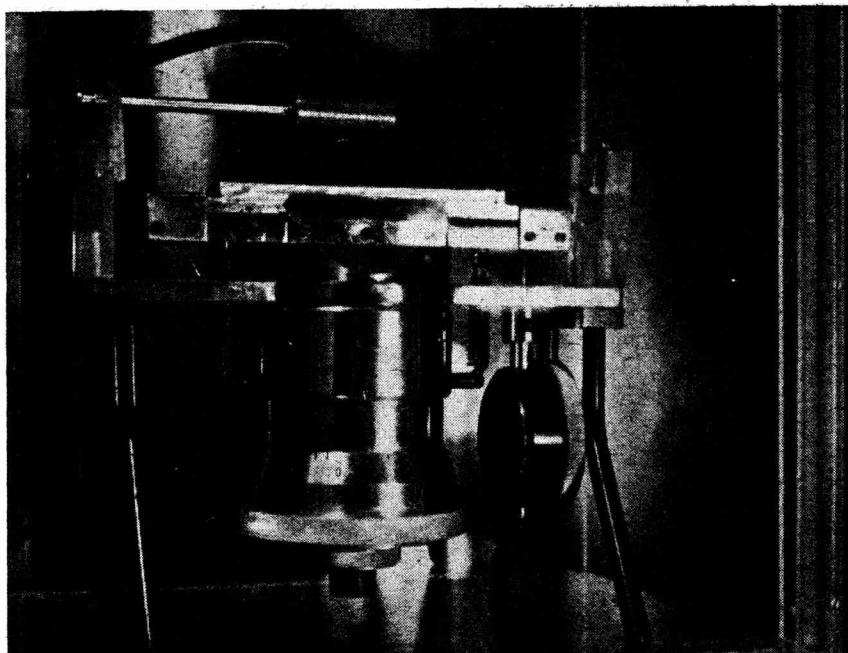
Alfa-časticie, prichádzajúce v smere kolmom na os vlákna a rovinu katódy, uvoľnia pozdĺž svojich dráh také veľké množstvo sekundárnych elektrónov, že lavíny od seba nezávisle narastajú. Výsledok silového pôsobenia vonkajšieho poľa a polí priestorových nábojov za sebou idúcich lavín je ten, že lavíny ľahko môžu vytvoriť súvislý stĺpec a prejsť v streamer. Pravdepodobnosť takéhoto mechanizmu je zrejme klesajúca, ak uhol medzi stopou dopadajúcej častice a normálou sa zväčšuje.

### Konštrukcia počítača

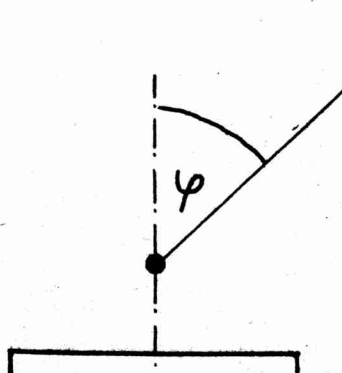
Konštrukcia počítača je znázornená na obr. 1. Anódou je volfrámový drôt o priemere  $0,1 \text{ mm}$ , pripojený na nosník z plexiskla. Katódu tvorí hliníková platnička  $30 \times 100 \text{ mm}^2$ . Vzdialenosť medzi elektródami sa dala regulovať mikrometrickou skrutkou od  $0$  do  $5 \text{ mm}$ . Celý počítač bol umiestnený do obalu z plexiskla, čím sa zamedzilo znečisteniu povrchu elektród a vplyvu atmosferických podmienok. Zdrojom alfa častic bol preparát Po 210, umiestnený tak, aby vzdialenosť preparátu od anódového vlákna bola menšia, než je stredný dobeh alfa-častic vo vzduchu. Fotografická snímka iskrového počítača je uvedená na obr. 2.

Pre vyšetrovanie závislosti účinnosti počítača od uhla  $\varphi$ , ktorý zviera kolmica k anódovému vláknu a k rovine katódy so smerom dopadu alfa častic, preparát Po 210 bol umiestnený na špeciálnom držiaku s kolimátorom, ktorý umožňoval otáčanie preparátu od  $\varphi = 0^\circ$  do  $\varphi = 90^\circ$  (obr. 3).

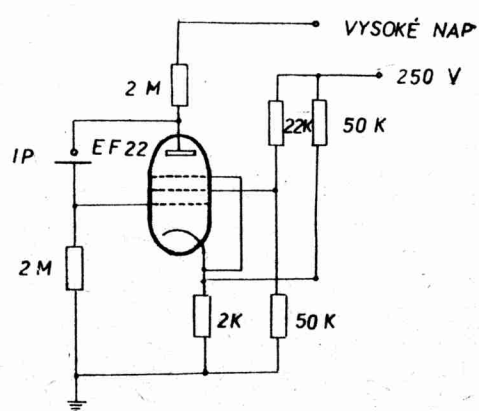
Vysoké napätie sa privádzalo zo zdroja cez delič napäťia priamo na anódu. Katóda je cez odporový zhášací obvod uzemnená. Zhášací odpor sa skladal z dvoch odporov, premostených kondenzátormi a využíval sa aj ako delič napäťia pre dekadický počítač impulzov. Pretože pri zmene pracovných hodnôt počítača dochádzalo k veľkým zmenám amplitúdy výstupného impulzu, bol začlenený medzi počítač a dekadický reduktor elektronický tvarovací obvod. Bol vyskúšaný aj elektronický zhášací



Obr. 2.



Obs. 3.

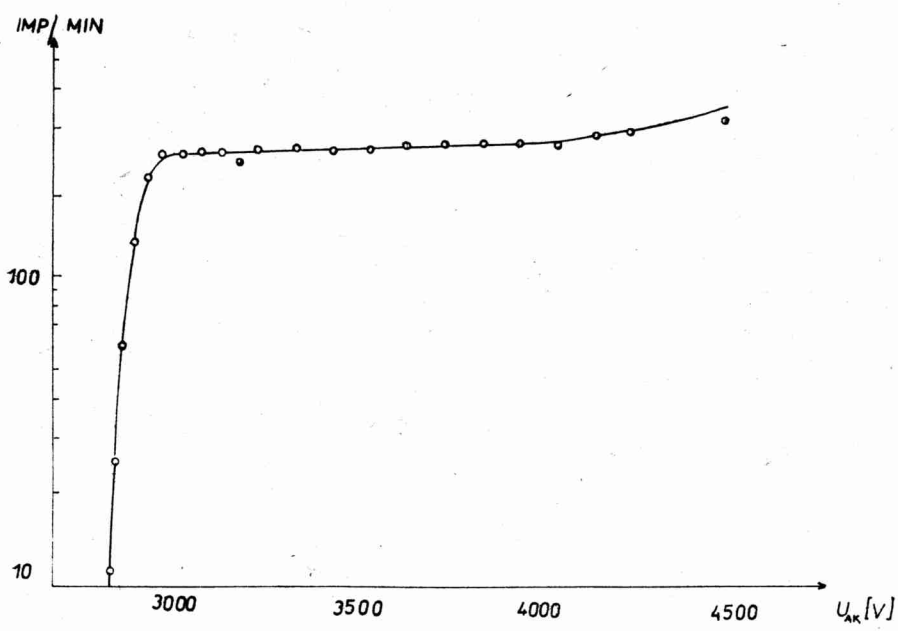


Obr. 4.

obvod, uvedený na obr. 4. Zhášací odpor je možné meniť medzi hodnotami  $R_{\max}$  a  $R_{\min}$ , pričom  $R_{\max}$  je odpor, nad ktorým počítač už nemôže pracovať v stabilnom režime a  $R_{\min}$  je odpor, pod ktorým výboj sa stane trvalým.

#### Výsledky experimentálneho vyšetrovania vlastností iskrového počítača

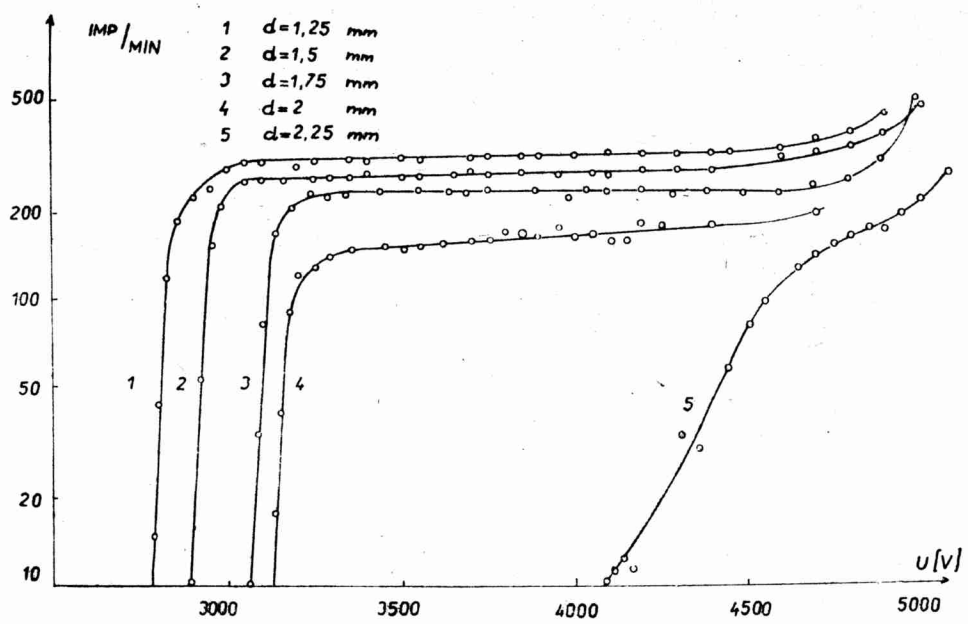
Napäťová charakteristika iskrového počítača je oproti iným, plynom plneným počítačom oveľa lepšia. Na vyšetrovanom počítači bolo dosiahnuté plateau, ktorého dĺžka prevyšuje 1000 V, pri stúpaní v strede plateau menšom ako 1 %/100 V. Typická napäťová charakteristika počítača je uvedená na obr. 5. Prah citlivosti počítača je v blízkosti napäcia, pri ktorom sa objavuje koronový prúd cez počítač.



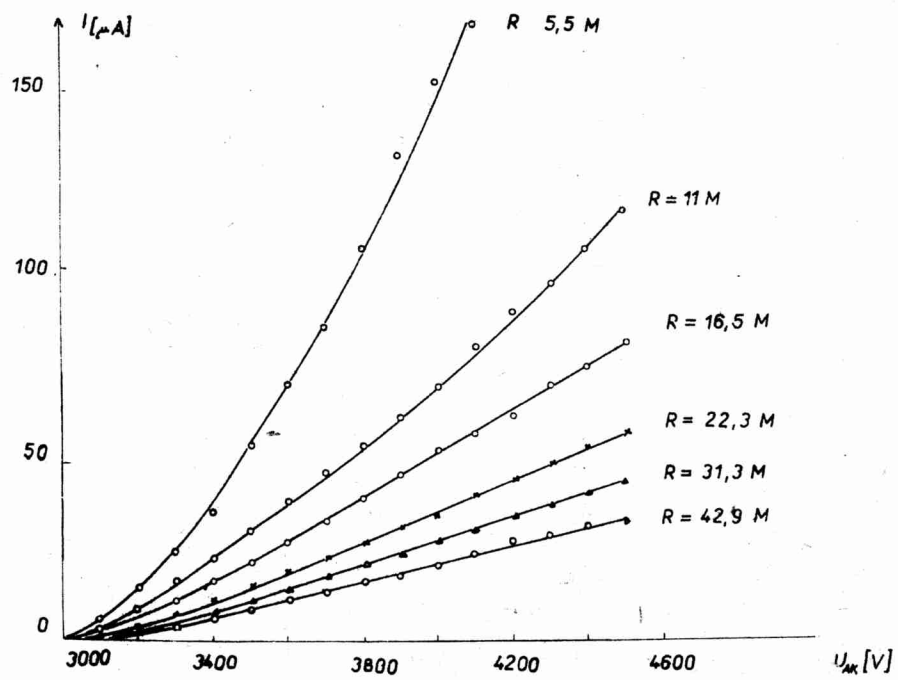
Obr. 5.

Vzájomná vzdialenosť elektród má značný vplyv na napäťovú charakteristiku počítača. Ako ukazuje obr. 6, pri vzdialosti elektród 2,25 mm plateau sa úplne stratilo a počet zaregistrovanych alfa-častíc tiež silne poklesol. Pri malej vzájomnej vzdialnosti elektród a vyšších napätiach koronový prúd počítača nadobúda takú hodnotu, že podstatne ovplyvní jeho vlastnosti. Ak napätie  $U$  privádzame na anódu počítača, je menšie ako napätie, pri ktorom vzniká koronový výboj, trvalý prúd cez počítač je taký malý, že efektívne napätie  $U_{ef}$  a privádzané napätie  $U$  sa prakticky zhodujú. Pri koronovom prúde  $I$ , napätie  $U_{ef}$  je funkciou vonkajšieho odporu  $R$ .

$$U_{ef} = U - RI.$$



Obr. 6.



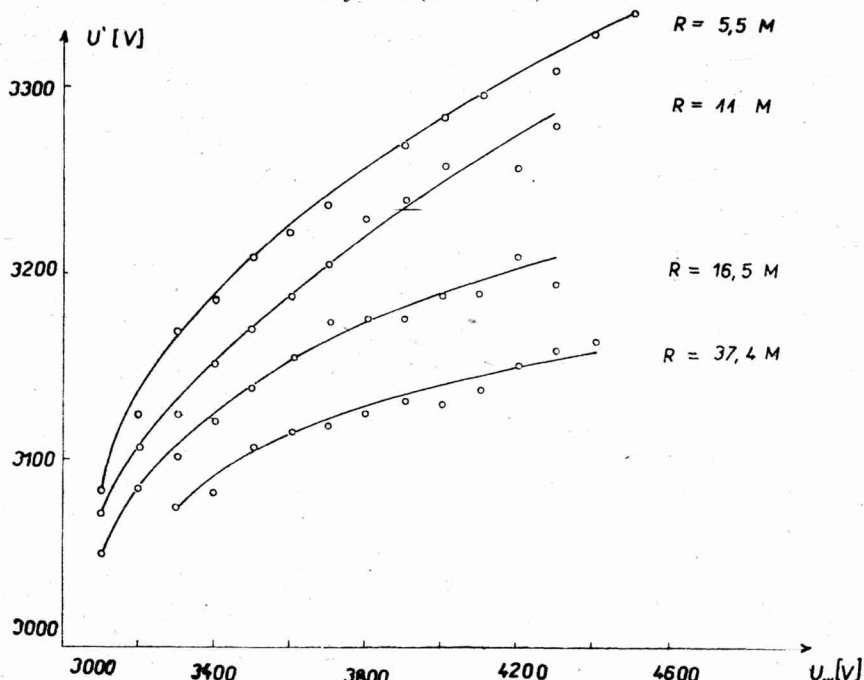
Obr. 7.

Pre danú hodnotu  $R$ , ako ukazuje obr. 7, je závislosť  $I = f(U)$  skoro lineárna. Uvedenú závislosť môžeme písť v tvare

$$I = k(R) U,$$

kde  $k$  je koeficient pre dané  $R$ . Ak dosadíme túto hodnotu do predošej rovnice, dostaneme vzťah

$$U_{ef} = U(1 - k \cdot R).$$

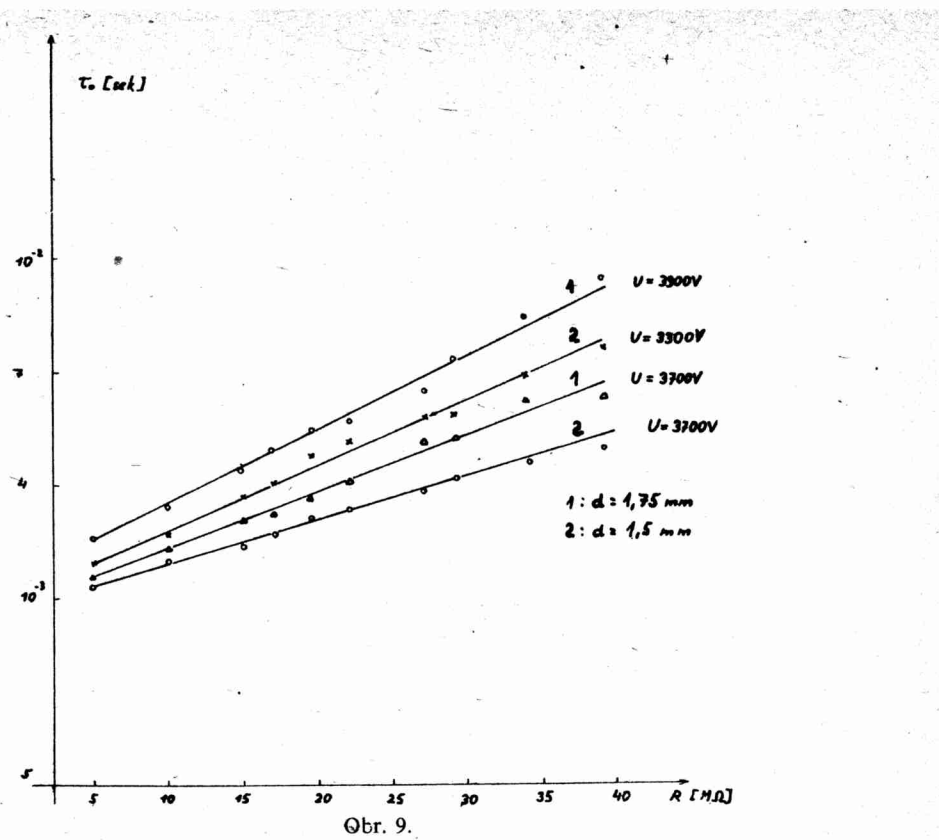


Obr. 8.

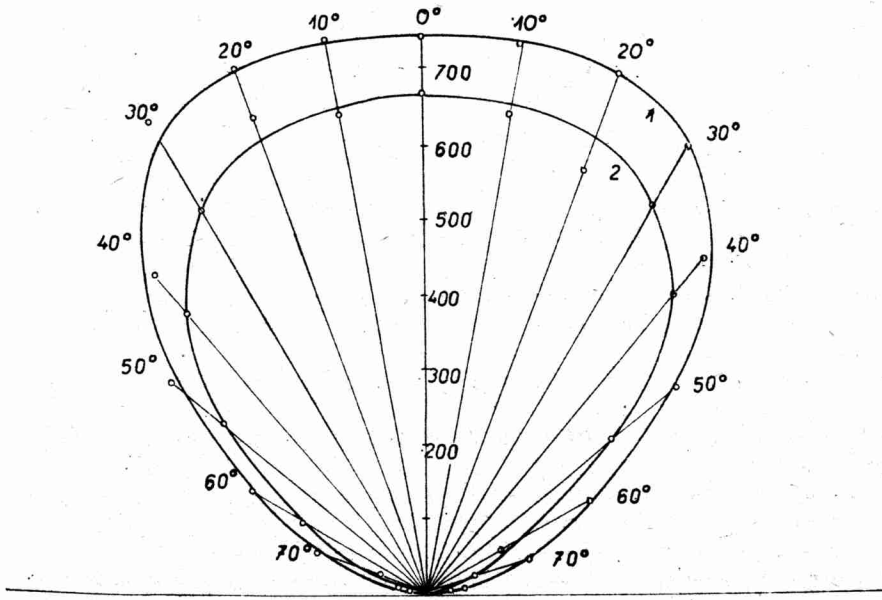
Pre hodnoty  $k < 1/R$  bude  $U_{ef}$  narastať úmerne s  $U$ . Pre väčšie hodnoty  $R$  môže sa však stať, že  $k > 1/R$  a v tomto prípade so zvyšovaním  $U$  bude  $U_{ef}$  klesať. Dôsledkom tohto efektu je záporný sklon napäťovej charakteristiky. Takúto zápornú napäťovú charakteristiku vykazoval počítač, vyšetrovaný Connorom [5]. V našom prípade, ako ukazuje obr. 8, pri uvedených hodnotách napätia, vzdialenosť elektród a zhásacieho odporu záporný sklon  $\Delta U_{ef}/\Delta U$ , a teda ani záporný sklon pracovnej charakteristiky sa nevyskytol.

Mŕtva doba iskového počítača je pomerne veľká, čo je jednou z jeho nevýhod. U vyšetrovaného počítača sa pohybovala medzi  $10^{-3}$  až  $10^{-2}$  sec, podľa zvolených parametrov. Zmenou vzdialenosťi elektród od 1,5 mm do 1,75 mm sa zmenšila mŕtva doba asi o 20 %. Zvýšením pracovného napätia dochádza tiež k zmenšeniu mŕtvej doby (obr. 9).

Na obr. 10 je uvedený výsledok vyšetrovania smerových vlastností iskového počítača. Meranie sa uskutočnilo pri napätiach 3300 V a 4000 V. Ako vidieť i z grafu, počet zaregistrovaných častíc, dopadajúcich pod uhlom  $\varphi > 30^\circ$ , prudko klesá.



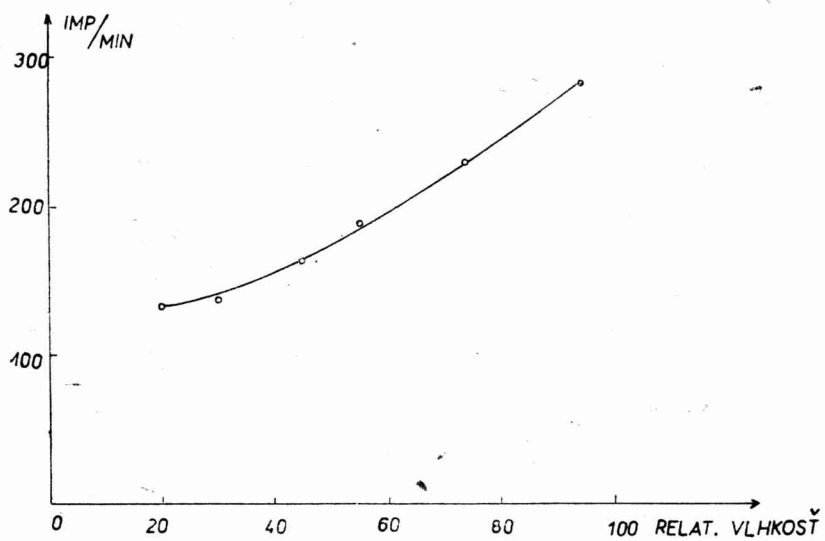
Obr. 9.



Obr. 10.

Pozadie vyšetrovaného počítača bolo veľmi malé, menšie ako 1 imp/min. Iskrový počítač vykazuje starnutie, čo sa prejavuje posunutím napäťovej charakteristiky a skrátením dĺžky plateau. Po  $10^7$  impulzoch počítač už nezarúčoval reprodukovateľnosť nameraných výsledkov. Je nutné z času na čas povrch elektród očistiť, prípadne anódové vlákno vymeniť, pričom môže však dôjsť k menším zmenám charakteristiky počítača.

Pre iskrové počítače, pracujúce na vzduchu, je veľkou nevýhodou značná závislosť od obsahu vodných pár vo vzduchu. Ako ukazuje obr. 11, pri zmene relatívnej vlhkosti vzduchu zo 100 % na 20 % sa zmenšila účinnosť počítača o 46 %.



Obr. 11.

Záverom možno zhrnúť prednosti a nedostatky vyšetrovaného iskrového počítača alfa-častíc v porovnaní s inými druhmi počítačov.

1. Tým, že počítač pracuje bez krytu, ktorý u iných počítačov absorbuje pomerne veľkú časť alfa-častíc, možno ho použiť ako veľmi efektívny detektor alfa častic. Absolútна účinnosť počítača je nad 90 %.

2. Počítač je prakticky necitlivý na ľubovoľne veľké pozadie beta a gama žiarenia, čo u iných typov počítačov sa buď vôbec nedá dosiahnuť, alebo v oveľa menšej miere.

3. Smerové vlastnosti uvedeného typu počítača v niektorých prípadoch by sa dali vhodne využiť.

4. Výstupný impulz môže dosiahnuť amplitúdu až niekoľko sto voltov so strmom nábehovou hranou.

5. Konštančné zhotovenie počítača je veľmi nenáročné.

Za nevýhodu počítača môžeme považovať:

1. pomerne veľkú mŕtvu dobu, ktorá je rádovo  $10^{-3}$  sec.,  
 2. starnutie počítača po  $10^7 - 10^8$  imp., a tým vzniknutú zmenu pracovnej charakteristiky.

3. závislosť účinnosti počítača od obsahu vodných pár vo vzduchu.

## Literatúra

- [1] H. Greinacher, Zeits. f. Physik, 16, 165 (1935)
- [2] W. Y. Chang and S. Rosemblum, Phys. Rev., Vol. 67, Num. 7–8, 222 (1945)
- [3] J. W. Keuffel, Rev. Sci. Instr. Vol. 20, Num. 3, 202 (1949)
- [4] L. Madansky and R. W. Pidd, Rev. Sci. Instr., Vol. 21, Num. 5, 407 (1950)
- [5] R. D. Connor, Proc. Phys. Soc., 61B, 30 (1954)
- [6] E. Andreeščev i B. M. Isaev, Žurnal eksp. i teoret. fiz., T 28, Vyp. 3, 335 (1955)
- [7] L. Daddi and L. De Franceschi, Nuovo Cimento, Vol. VII. N. 6, 895 (1958)
- [8] L. Daddi and L. De Franceschi, Rev. Sci. Instr., Vol. 30, Num. 6, 419 (1959)

## Искровой счетчик альфа-частиц

Ш. Шаро, М. Ганускова

## Резюме

В статье приведены результаты экспериментального исследования некоторых свойств искрового счетчика с плоским катодом и нитяным анодом. Счетчик был сконструирован для регистрации альфа-частиц и работал в воздушной среде при атмосферном давлении. Фон счетчика оказался практически нулевым даже в присутствии сильных бета- и гаммаизлучателей.

## The Spark Counter, Operating as an Alpha-Particle Detector

Sh. Šáró and M. Hanusková

## Abstract

In this article is shown result of the experimental investigation some properties of the spark counter, having single-wire anode and plane-cathode. The spark counter was constructed as an alfa-particle detector, filling about 1 atm. air. The backgr-ound counting rate was practically zero even in intensive beta- and gama-rays.



## ACTA FACULTATIS RERUM NATURALIUM UNIVERSITATIS COMENIANAE

sú fakultný sborník určený k publikáciám vedeckých prác interných a externých učiteľov našej fakulty, interných a externých aspirantov a našich študentov. Absolventi našej fakulty môžu publikovať práce, v ktorých spracovávajú materiál získaný za dobu pobytu na našej fakulte. Redakčná rada vyhradzuje si právo z tohto pravidla urobiť výnimku.

Práce musia byť doporučené katedrou. Práce študentov musia byť doporučené študentskou vedeckou spoločnosťou a príslušnou katedrou.

Publikovať možno v jazyku slovenskom alebo českom, prípadne v ruskom alebo anglickom, francúzskom alebo nemeckom. Práce podané na publikovanie majú byť písané strojom na jednej strane papiera, ob riadok, tak aby jeden riadok tvorilo 60 úderov a na stránku prispadlo 30 riadkov. Rukopis treba podať dvojmo a upraviť tak, aby bolo čo najmenej chýb a preklepov. Nadmerný počet chýb zdražuje tlač a ide na účet autora.

Rukopis upravte tak, že najprv napíšete názov práce, pod to meno autora. Pracovisko, pokiaľ je na našej fakulte, sa neuvádza. Iba tam, kde je viac spolupracovníkov a niektorý z nich je z mimofakultného pracoviska, sa uvádzajú všetky pracoviská. Tiež tam, kde práca bola vypracovaná na dvoch pracoviskách, treba ich obidve uviesť.

Fotografie načim podať na čiernom lesklom papieri a uviesť meno autora, zmenšenie a text pod obrázok. Kresby treba urobiť tušom na priehľadnom papieri (pauzák) alebo na rysovacom papieri a taktiež uviesť meno autora, zmenšenie a text pod obrázok.

Každá práca musí mať resumé v ruskom a niektorom západnom jazyku. K prácам, publikovaným v cudzom jazyku, načim pripojiť resumé v slovenskom (českom) jazyku a v jazyku západnom v prípade publikácie v ruskom jazyku, alebo v ruskom jazyku v prípade publikácie v jazyku západnom. *Nezabudnite pri resumé uviesť vždy názov práce a meno autora v rovnakom poradí ako v základnom teste.* Za správnosť prekladu zodpovedá autor.

Autori dostávajú stlpcové a zlamané korektúry, ktoré treba do 3 dní vrátiť. Rozsiahlejšie zmeny v priebehu korektúry idú na ťarchu autorského honoráru. Každý autor dostane okrem príslušného honoráru i 50 separátov.

Redakčná rada.

## O B S A H

S. Šáró: Iskrové počítáče a iskrové komory s rovinnými elektródami . . . . .	1
S. Šáró, M. Hanusková: Iskrový počítáč alfa-častic . . . . .	39
III.. Шаро: Искровые счетчики и искровые камеры с параллельными электродами	38
III. Шаро, М. Ганускова: Искровой счетчик альфа-частиц . . . . .	47
S. Šáró: The Parallel-Plate Spark Counters and Spark Chambers . . . . .	38
S. Šáró, M. Hanusková: The Spark Counter, Operating as an Alfa-Particle Detector	47